

**O'ZBEKISTON RESPUBLIKASI
OLIY VA O'RTA MAXSUS TA'LIM VAZIRLIGI**

GULISTON DAVLAT UNIVERSITETI

Fizika –matematika fakulteti

Fizika kafedrasi

5140200 – Fizika ta'lif yo'naliishi 1-15 gurux talabasi

ABDUSATTOROV SARDORNING

**“PERIFERIYALI $A(a, \gamma)B$ RADIATSION QAMRAB OLISH
REAKSIYASI UCHUN MODIFIKATSIYA QILINGAN IKKI
JISMLI POTENSIAL USUL ” mavzusida bajargan**

BITIRUV MALAKAVIY ISHI

Raxbar: **fizika kafedrasini o'qituvchisi**
K.I.Tursunmaxatov

**Fizika kafedrasining 2019 yil iyundagi
№ YIG'ILISHI QARORI ASOSIDA DAK DA
HIMOYA QILISH UCHUN TAVSIYA ETILGAN**

GULISTON – 2019

**BMI Guliston davlat universitetining 2019 yil _____ dagi
№ _____ sonli buyrug'i bilan tasdiqlangan. Davlat attestatsion komissiyasining
№ _____ sonli yigi'lishida muhokama qilindi va _____ ball bilan (_____)
baxolandi.**

**Bitiruv malakaviy ishi “ fizika- matematika” fakultetining 2019 yil _____ dagi
№ _____ sonli ilmiy-uslubiy kengashi qarori bilan davlat attestatsion
komissiyaga ximoya qilish uchun tavsiya etildi**

Fakultet dekani: S.Allayorov

**Bitiruv malakaviy ishi “fizika”kafedrasining 2019 yil _____ dagi
№ _____ sonli yig'ilishida muhokama qilindi va ximoyaga tavsiya etildi.**

Kafedra mudiri : SH.Ashirov

**BMI ni bajaruvchi: 5140200 fizika ta'lim
yo'nalishi 1-15 gurux talabasi
S.Abdusattorov**

**Raxbar: “fizika” kafedrasи
O'qituvchisi K.I.Tursunmaxatov**

MUNDARIJA.

Kirish.....	4
I BOB. Yulduzlar evolyutsiyasi jarayoni to'g'risidagi umumiy ma'lumotlar.....	10
§1.1. Yulduzlar evolyutsiyasining asosiy etaplari	10
§1.2. Yulduzlarning evolyutsiyalarini belgilovchi reaksiyalar	22
II BOB. Yulduzlar evolyutsiyasining oxirgi stadiyalari	24
§ 2.1. Uglerod va kislorodning yonishi	24
§ 2.2 Kremniyning yonishi	26
§2.3 Neytronlar ta'siri ostida o'tuvchi jarayonlar. s – jarayon	30
§ 2.4 O'ta yangi yulduzlardagi nukleosintez jarayoni	34
§ 2.5 Neytronlar ta'siri ostida o'tuvchi jarayonlar, r-jarayon	45
III BOB. To'g'ri radiatsion qamrab olish reaksiyasi	48
§3.1 To'g'ri radiatsion qamrab olish reaksiyasi	48
§3.2 Periferiyali $A(a, \gamma)B$ radiatsion qamrab olish reaksiyasi uchun modifikatsiya qilingan ikki jismli potensial usul	50
§3.3 $t + \alpha \rightarrow {}^7Li + \gamma$ (0 MeV) va $t + \alpha \rightarrow {}^7Li + \gamma$ (0.458 MeV) radiatsion qamrab olish reaksiyasi	52
Xulosa	61
Foydalanilgan adabiyotlar ro'yxati	62

K I R I SH.

Mavzuning dolzarbliji. Koinotda eng ko'p tarqalgan ob'yektlar yulduzlar hisoblanadi. Kosmik muhit massasini qarib 38 % i ana shu gazli sharlarda taqsimlangandir. Yulduzlarning evolyutsiyasi bilan tabiatda mavjud bo'lган deyarli barcha kimyoviy elementlarni paydo bo'lishi bog'liqdir. Shuning uchun yulduzlarni o'rganilishi nafaqat kimyoviy ob'yekt sifatida, balki materiyani hosil bo'lishini ma'lum bosqichini aniqlashda o'ta muhimdir.

Nazariy astrofizikani ko'rsatishicha yulduzlar qa'rida nukleosintez jarayonlari natijasida turli elementlar atom yadrolari tug'iladi. Yuqori bosim va temperaturalarda bir elementar zarralarni ikkinchisiga aylanish jarayonlariga termoyadro reaksiyalari deyiladi. Termoyadro reaksiyalari amalga oshishi uchun bir nechta ketma-ket o'tuvchi jarayonlar vujudga kelishi kerak:

1) Ikki zarrani o'zaro ta'siri; 2) o'zaro ta'sir etuvchi zarralardan biri ikkinchi zarrani o'rabi olgan potensial to'siqni yorib kirishi kerak va 3) gamma – fotonni nurlanishi yoki pozitronni va neytrinolarni chiqarilishi bilan o'tuvchi yadro o'zaro ta'siri amalga oshishi kerak. Termoyadro reaksiyalari ichida eng asosiysi vodorod 4 ta yadrosidan (protondan) bitta geliy yadrosi hosil bo'lish jarayonidir. Geliy yadrosi ikkita proton va ikkita neytronlardan tashkil topgan bo'ladi. Bunday reaksiya jarayonida ikkita protonni neytronga aylanishi va neytrinolarni nurlanishi vujudga keladi. 4 ta protonni geliy yadrosiga aylanishi termoyadro reaksiyasiga protonli sikl termoyadro reaksiyasi deyiladi. Protonli sikl termoyadro reaksiyalari Quyoshga o'xshagan yulduzlar tarkibida nisbatan past temperaturalarda amalgam oshadi. Yana uglerod – azotli sikl deb ataluvchi termoyadro reaksiyalari ham mavjud bo'lib, bunday reaksiyalar massasi Quyosh massasidan katta, qa'ridagi temperatura yuqori yulduzlarda kechadi. Uglerod – azotli sikl (CN - sikl)

termoyadro reaksiyalarida, uglerod va azot yadrolari reaksiya katalizatori rolini o'ynaydi, ya'ni bu yadrolar termoyadro reaksiyasi oxirida yana paydo bo'ladi.

Protonli sikl tufayli yulduzlar o'z hayot yo'lini milliard yillar davomida o'tsa, CN – sikl tufayli esa bir necha o'n million yilda o'tadi, ya'ni CN – sikl protonli siklga nisbatan tez o'tuvchi jarayondir. Nazariyani ko'rsatishicha CN – siklda protonli siklga nisbatan ko'p energiya ajraladi.

Nazariy astrofizika yulduzlarning temperaturasiga bog'liq ravishda qancha energiya ajralishini hisoblash imkoniyatiga egadir.

Yulduzlar qa'rida protonlar zaxirasi tamom bo'lgandan keyin yulduz siqilishi natijasida temperatura bir necha yuz million kelvingacha oshib geliy yadrolarini berilliy yadrolariga, keyinchalik uglerod, azot va hokazolar temir yadrolarigacha sintez qilinadi.

Ko'rsatilishicha yulduzlar qa'rida termoyadro reaksiyasi natijasida kimyoviy elementlar yadrosiga qadar davom etadi. Yanada og'irroq atom yadrolarining hosil bo'lishi chog'ida energiya ajralmaydi va shuning uchun yadro reaksiyalari yulduzni hamma kimyoviy elementlar temirga aylangunicha energiya bilan ta'minlab turadi. Temirdan og'irroq elementlar yadrolari portlash tarzidagi jarayonlar vaqtidagina masalan, o'ta yangi yulduzlar chaqnashlari paytida sintezlanishi mumkin.

Massasi katta bo'lgan yulduzlarning umri oxiridagi evolyutsiyasi halokatli tarzda kechadi. Yulduzning yadro energiya manbalari tugagach, u o'zining gravitatsiya kuchi ta'siri ostida keskin siqiladi. Shunda portlash tarzida ajralib chiqqan ulkan gravitatsion energiya, yulduz qobig'ini fazoga uloqtirib tashlaydi. Ushbu jarayonga o'ta yangi yulduzning chaqnashi deyiladi. Bu jarayonda zarbaviy to'lqin ham tarqalib, o'zi bilan olib ketayotgan gazni juda katta haroratgacha qizdirib yuboradi. Zarbaviy to'lqin fronti ortida kechayotgan termoyadroviy reaksiyalar jarayonlarida uran va toriygacha bo'lgan og'ir elementlarning sintezi yuz beradi.

CNO sikl va pp zanjir orqali hosil bo'ladigan ko'p engil elementlar uchun mos keladigan xar xil yadroviy astrofizik jarayonlarning tezliklarini ishonchli baholash

zamonaviy yadro astrofizikasining eng muhim muammolaridan biridir. Bu muammolarni yechish juda kichik energiyalarda $\sigma_{ij}(E)$ ko'ndalang kesimni (yoki unga ekvivalent astrofizik $S_{ij}(E)$ faktorni) olmasdan iloji yo'q. Masalan $t + \alpha \rightarrow {}^7Li + \gamma$ (0 MeV) va $t + \alpha \rightarrow {}^7Li + \gamma$ (0.458 MeV) reaksiyalarga o'xshash radiatsion qamrab olish reaksiyalari uchun quyosh energiyalarida ($E \leq 25 keV$) $\sigma_{ij}(E)$ ko'ndalang kesim (yoki unga ekvivalent astrofizik $S_{ij}(E)$ faktor) haqida ishonchli axborotlar Big-Bang nuleosintez hisoblashlarida va quyoshda bu yadrolarning kuzatilishida muhim rol o'ynaydi. O'tgan o'n yillikda qilingan bu jarayonlarni tushuntirishda qilingan ajoyib tuzatishlarga qaramasdan quyosh energiyasi soxasida yuqorida aytilgan reaksiyalar uchun experimentda o'lchanigan ko'ndalang kesimning ekstrapolyatsiyasida ham va nazariy dalillar asosida oldindan aytishda ham xaligacha bir qiymatlilik mavjud emas va ular standart quyosh modelining nazariyasiga sezilarli ta'sir ko'rsatadi.

Bu muammoning mumkin bo'lgan echimlaridan biri to'qnashuvchi zarralarning (a va A) bir-biridan kuchli kulon qochishi va qamrab olinuvchi zarrachalarning (proton yoki α zarracha) bog'lanish energiyasining juda kichikligi , quyosh energiyalarida $A(a, \gamma)B$ radiatsion qamrab olish reaksiyasi amplitudasi berkitish integralining dum qismi orqali ifodalanishi shuningdek u toliqligicha kulon o'zarota'sirlashuv ,bog'lanish energiyasi hamda mos asimptotik normirovka koeffitsiyenti yordamida aniqlanish g'oyasiga asoslanadi. Asimptotik normirovka koeffitsiyenti (ANK) (A+a) kanalda B yadro uchun yadro to'lqin funksiyasining asimptotikasini aniqlaydi va ikki jismli (A+a) kanalda B yadroning fundamental yadro xarakteristikasidir, boshqa tomondan u kuchli o'zarota'sir dinamikasi orqali aniqlanadi.

$A + a \rightarrow B$ uchun Asimptotik normirovka koeffitsiyenti (ANK) yadro o'zarota'sir radiusiga qaraganda kattaroq masofalarda B yadroda A+a konfiguratsiya ehtimolligini aniqlaydi. ANK periferiyali bir zarrali uzatish reaksiyasi va radiatsion qamrab olish reaksiyalarida xar xil usullar bilan yadroviy jarayonlarni analiz qilishda aktiv foydalaniladi. Bir jarayondon olingan asimptotik normirovka

koeffitsiyentidan boshqa jarayonning xarakteristikalarini o'rganish uchun foydalanish mumkin.

ANK ni aniqlashning yana bir usuli bu [15] dagi g'oyaga asoslangan periferiyali $A(a, \gamma)B$ radiatsion qamrab olish reaksiyasi uchun modifikatsiya qilingan ikki jismli potensial usuldir.

Bugungi kunda O'zbekistonda quyi energiyalarda kechadigan yadroviy reaktsiyalar kesimini aniqlashning asimptotik nazariy usullarining yaratilishi va rivojlantirilishi, zamonaviy texnologiyalarga asoslangan pretcision eksperimental uslubiyatlarning joriy etilishi jahon miqyosidagi muhim ilmiy natijalarni qo'lga kiritish imkonini berdi. Xususan, yengil yadrolar to'qnashishlari bilan kechadigan yadroviy reaktsiyalarni tadqiq qilishga mo'ljallangan komp'yuterlashgan boshqarish tizimiga ega elektron statik tezlatgichning ishga tushirilgani, dunyo tadqiqot markazlari olimlari, shu jumladan, respublikamiz olimlari tahlil qilishning asimptotik usullarining yaratilishi va rivojlantirilishi bunga sabab bo'ldi. Olingan natijalarning aniqlik darajasini yana ham oshirish yo'lida zamonaviy texnologiyalarni tatbiq etish orqali yadroviy reaktsiyalar eksperimental uslubiyatlarini takomillashtirish, fundamental kattalik hisoblangan ANKning yuqori aniqlikdagi eksperimental qiymatlarini aniqlashning nazariy usullarini rivojlantirish va ularni yengil yadrolar tuzilishi masalalariga hamda zamonaviy yadroviy-astrofizika va kosmologiyaning muammolarini hal etishga tatbiq etish dolzarb masala bo'lib qolmoqda. Quyosh va massiv yulduzlarda kechadigan har xil yadroviy astrofizika jarayonlar tezligini aniqlash uchun quyi va o'ta quyi energiyalarda yadro fizikasi sohasida fundamental tadqiqotlar olib borish O'zbekistonni yanada rivojlantirish bo'yicha 2017–2021 yillardagi Harakatlar strategiyasiga kiritilgan. Bu tadqiqotlar yadroviy astrofizika, boshqariladigan termoyadroviy jarayonlar fizikasi, hamda yadroviy energetika muammolariga to'g'ridan-to'g'ri bog'liq.

O'zbekiston Respublikasi Prezidentining 2017 yil, 17 fevraldaggi PQ-2789-son «Fanlar akademiyasi faoliyati, ilmiy-tadqiqot ishlarini tashkil etish, boshqarish va moliyalashtirishni yanada takomillashtirish chora tadbirlari to'g'risida»gi

qarorlarida, 2017 yil, 7 fevraldag'i PF-4947-son «O'zbekiston Respublikasini yanada rivojlantirish bo'yicha Harakatlar strategiyasi to'g'risida» gi Farmonida hamda mazkur faoliyatga tegishli boshqa me'yoriy-huquqiy hujjatlarda belgilangan vazifalarni amalga oshirishga ushbu bitiruv malakaviy ishining tadqiqoti muayyan darajada xizmat qiladi.

Ishning maqsadi va vazifalari: Yuqorida aytib o'tilgan $A + a \rightarrow B$ uchun Asimptotik normirovka koeffitsiyentini (ANK) aniqlashning asosiy metodlar yordamida $t + \alpha \rightarrow {}^7Li + \gamma$ (0 MeV) va $t + \alpha \rightarrow {}^7Li + \gamma$ (0.458 MeV) radiatsion qamrab olish reaksiyasidan ANK ni aniqlashdan iboratdir.

Ishdagi ilmiy yangiliklar. Yuqorida aytib o'tilgan $A + a \rightarrow B$ uchun Asimptotik normirovka koeffitsiyentini (ANK) aniqlashning asosiy metodlar yordamida $t + \alpha \rightarrow {}^7Li + \gamma$ (0 MeV) va $t + \alpha \rightarrow {}^7Li + \gamma$ (0.458 MeV) radiatsion qamrab olish reaksiyasidan ANK ni aniqlandi. Bu topilgan asimptotik normirovka koeffitsiyenti boshqa ishlarda topilgan ANK lar bilan solishtirildi. Radiatsion qamrab olish reaksitasidan topilgan ANK yordamida juda kichik energiyalarda astrofizik S-faktor ekstrapolyatsiya qilindi.

Ishning ilmiy ahamiyati : $t + \alpha \rightarrow {}^7Li + \gamma$ (0 MeV) va $t + \alpha \rightarrow {}^7Li + \gamma$ (0.458 MeV) radiatsion qamrab olish reaksiyasining eksperimental ma'lumotlaridan foydalanib asimptotik normirovka koeffitsiyentlari topildi va bu ANK lar yordamida juda kichik energiyalarda (eksperiment o'tkazish mumkin bo'limgan energiya oraliq'i, $E=0$ ni ham o'z ichiga oladi) astrofizik S(E) faktorning qiymatlari hisoblab topildi. Bu topilgan qiymatlar boshqa eksperimentlarda aniqlanga n qiymatlar bilan solishtirildi. Eksperimentni analiz qilish natijasida olingangan ma'lumotlar yadro astrofizikada juda muhim ahamiyatga egadir.

Bitiruv malakaviy ishining tuzilishi: Ushbu bitiruv malakaviy ish kirish qismi, uchta bob, xulosa va foydalanilgan adabiyotlar ro'yxatidan tashkil topgan bo'lib, 63 bet kompyuterda lotin harflarda yozilgan, 16 ta rasm, 3ta jadvallarni o'z ichiga olgan.

Ishning birinchi bobida yulduzlar evolyutsiyasi jarayoni to'g'risidagi umumiylar ma'lumotlar ma'lumotlar keltirilgan.

Ishning ikkinchi bobida yulduzlar evolyutsiyasining oxirgi stadiyalari, neytronlar ta'siri ostida o'tuvchi jarayonlar, s – jarayon va r-jarayon to'g'risida ma'lumotlar keltirilgan.

Ishning uchunchi bobida modifikatsiya qilingan ikki jismli potensial metod tog'risida ma'lumotlar va olingan natijalar keltirilgan.

I Bob. Yulduzlar evolyutsiyasi jarayoni to'g'risidagi umumiylumotlar

§1.1. Yulduzlar evolyutsiyasining asosiy etaplari

Hozirgi vaqtida biz koinotni 10-20 mlrd. yil yorug'lik yiliga teng bo'lgan masofasi masshtabigacha tuzilishi to'g'risida gapirishimiz mumkin. Biz ko'ramizki koinotning bu oblasti materiyaning juda kompakt konsentratsiyalashgan (sayyoralari bilan birgalikda galaktikalarni hosil qiluvchi yonuvchi va so'nuvchi yulduzlar sistemalari) qismlari va ular orasidagi juda katta bo'shliqdan tashkil topgan. Buning hammasi muhit va nurlanish bilan (neytronlarni qo'shgan holda) to'ldirilgandir. Muhit yulduzlarda va sayyoralarda asosan nuklidlar ($Z=1$ vodoroddan tortib $Z=92$ urangacha bo'lgan 92 ximiyaviy element) konsentratsiyalashgan. Koinotning yadroviy tarkibining turli ko'rinishlari taxminan 300 ta nuklidgacha oqib kelib, fanning hozirgi darajasi bu nuklidlarni qanday paydo bo'lganligini va ularni taqsimlanishini tushuntira oladi.

Tabiiy sharoitda bu nuklidlar qanday paydo bo'lgan? Hozirgi vaqtida aniqlanishicha koinotning ximiyaviy elementlari yulduzlar evolyutsiyasi jarayonida paydo bo'lgan. Yulduzlar hosil bo'lishi nimadan boshlanadi? Hozirgi vaqtida aniqlanishicha faqatgina bizning galaktikamiz – somon yo'li taxminan 100 mlrd yulduzdan tashkil topgan. Yulduzlar hozirgi vaqtida ham koinot paydo bo'lishidan 10-20 mlrd yil keyin ham tug'ilyapti. Yulduzlar gravitatsion kuch ta'siri ostida ulkan molekulyar holatidagi gaz bulutlaridan kondensatsiyalangan. Molekulyar bulutlarda konsentratsiyalangan muhitning massasi butun galaktika massasining asosiy qismini tashkil etadi. Birlamchi muhitning bunday gazli bulutlari asosan vodorod yadrolaridan tashkil topgan bo'lib, geliy yadrolarining

uncha katta bo'limgan ulushi, yulduzlar hosil bo'lishi davridan (epoxasidan) oldin birlamchi nukleositez natijasida hosil bo'lgan. Orion katta tumanligi bunday tumanlikni ko'rinishlaridan biridir. Bulutlar eng yaqin yulduzlar tomonidan yoritilganligi sababli ko'rinvchandir. Yulduzlar gigant molekulyar bulutlardagi alohida birjinslimaslardan paydo bo'ladi. Bunday birjinslimaslar maxsus nom-kompakt zonalar deb yuritiladi. Odatdagi kompakt zona birnecha yorug'lik oyi o'lchamiga ega bo'lib vodorodning 1 sm^3 hajmdagi zichligi $3 \cdot 10^4$ ga teng, temperatura $\sim 10 \text{ K}$ ga teng bo'ladi. Kompakt zonaning siqlishi markaziy sohasining kollapsidan boshlanadi, ya'ni muhitning zona markaziga erkin tushishidan boshlanadi. Gravitatsion kuchlar atomlarni shunday yaqinlashtiradiki turon kuchayadi zichlik esa oshadi. Molekulalar markazga tushib energiya oladi, o'zaro ta'sir natijasida ular avval atomlarga bo'linadi. Gravitatsion siqlish natijasida quyun temperaturasini oshiradi. Bunga mos keluvchi energiya atomning uyg'onish energiyasidan katta bo'lganda, vodorodning uyg'ongan atomlari hosil bo'ladi. Sokinlik bilan kollaps oblasti perifiryaga ko'chib, butun zonani egallaydi. Anashunday yulduz hosil bo'lish jarayoni boshlanadi.

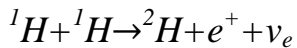
Uyg'ongan vodorod atomlari asosiy holatga o'tib vodorodga taalluqli bo'lgan spektral chiziqlarni nurlaydi. Obyekt nurlanuvchanga aylanadi. Yulduzning diametri bir necha yorug'lik sekundiga teng bo'ladi, yani kompakt zonaning 10^{-6} diametriga teng bo'ladi. Kompakt zonaning markazida quyosh massasiga teng massa 100 ming yildan 1 mln yilgacha vaqt davomida to'planadi.

Muhitning keying siqlishi uning temperaturasini ko'tarib, u ionlashgan holatiga o'tganidan muhit evolyutsiyasida yangi davr boshlanadi. Nurlanish bir necha tartibda ko'tariladi. Bunday nurlanish allaqachon vodorodli nurlanish bo'lmasdan, ionlashgan muhitda erkin harakat qiluvchi elektronlarni uzlusiz spektridan iboratdir. Kollapslanuvchi bulut markazida hosil bo'luvchi quyunga protoyulduz deyiladi. Protoyulduz yuziga tushuvchi gaz (bu hodisaga akretsiya hodiasi deyiladi) zarbali to'lqin hosil qilib, gazni 10^6 K gacha temperurasini ko'tarishiga olib keladi. Keyin gaz nurlanish natijasida tezlik bilan 10^4 K gacha sovib, protoyulduzning ketma-ket qatlamlarini hosil qiladi. Bunday kartina yosh

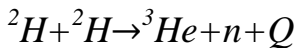
yulduzlarning yuqori nurlanishlarini tushuntiradi. Protoyulduzlarni optik teleskoplar bilan kuzatish mumkin. Gap shundaki zarbali to'lqinning nurlanishi, protoyulduz sirtidan chiqib o'z yo'lida ko'p sovuq molekulyar gaz va changga uchraydi. Natijada changning nurlanishi hosil bo'lib, fotonlarning qayta sochilishi vujudga keladi. Sovuq chang zarralari katta to'lqin uzunlik intervalida fotonlarni qayta nurlaydi. Bir tomondan tiniq bo'limgan zonalar hosil bo'lsa, ikkinchi tomondan ko'p marotaba sochilgan birlamchi fotonlar spektri, spektrning infraqizil oblastiga ko'chadi. Nurlanishning to'lqin uzunligi yetarlicha oshib, endi chang zarralari bunday nurlanishni yuta olmaydi. Shuning uchun protoyulduzni infraqizil diapozonda kuzatish mumkin. Hosil bo'luvchi muammolar shu bilan bog'langanki, hattoki infraqizil spektrometriya ham effektiv ravishda protoyulduzni nisbatan qari yulduzlardan effektiv ajrata olmaydi.

Protoyulduz yuziga tushuvchi gaz tushish tezligini aniqlashda dopier effekti qo'shimcha analizi talab etiladi.

Akretsiya natijasida yulduz muhiti massasi 0,1 quyosh massasiga yetganda, yulduz markazida temperatura 1 mln K yetadi va yulduz hayotida yangi etap, termoyadroviy sintez reaksiyasi etapi boshlanadi. Lekin bunday termoyadro reaksiyalari statsionar holatda bo'lган quyoshga o'xshash yulduzlarni markazida o'tuvchi termoyadro reaksiyasidan farq qiladi. Farq shundaki, quyoshda o'tuvchi sintez reraksiyalarida



ancha katta temperatura -10 mln. K talab etiladi. Protoyulduzning markazida esa 1 mln. K temperaturada o'tib, effektiv ravishda deyteriyini qo'shilishi hosil bo'lishi termoyadro reaksiyasi o'tadi ($d = ^2H$).

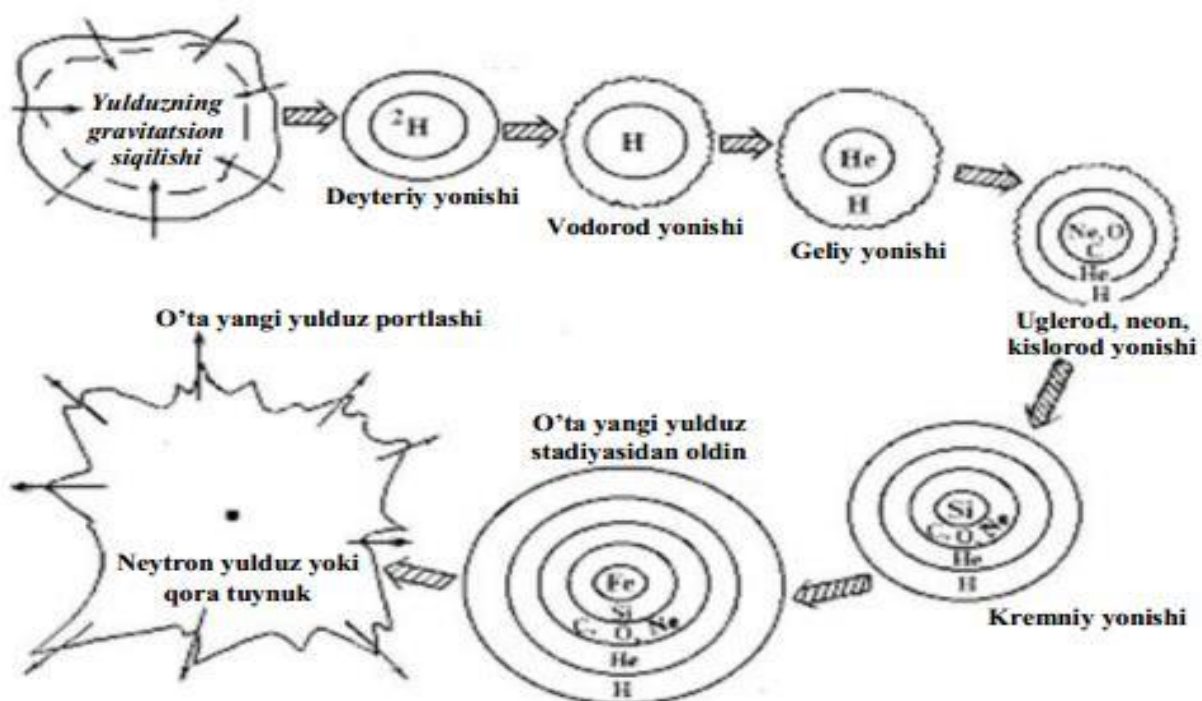


Bunda $Q=3.26\text{ MeV}$ - ajraluvchi energiya. Deyteriy xuddi 4He singari koinot evolyutsiyasining yulduzgacha erasida ham hosil bo'ladi. Lekin bu uncha katta bo'limgan miqdor protoyulduzning markazida hosil bo'luvchi effektiv energiya manbai uchun yetarli bo'ladi.

Protoyulduz muhitining notiniqligi unda konvektiv zonalarni paydo bo'lishiga sabab bo'ladi. Isitilgan gaz pufaklari yulduz markazidan uning periferiyasiga ko'chsa, uning sirtidan markaziga sovuq muhit ko'chib, yangi deyteriy miqdorini uzatadi. Deyteriyning yonish etapida deyteriy protoyulduz periferiyasiga ko'chib, uning tashqi qobiqlarini isitadi, bundan esa protoyulduz kengayishi kelib chiqadi. Massasi quyosh massasiga teng bo'lган protoyulduzni radiusi quyosh radiusidan taxminan s marotaba katta bo'ladi.

Kompakt zonaning massasi hosil bo'layotgan protoyulduz massasidan katta bo'ladi. Ortiqcha massani uzoqlashishi, yulduz yuziga muhit akretsiyasini yo'qolishi yulduz shamoli ta'siri ostida vujudga keladi. Obyekt yalang'ochlanadi, uni optik diapozonda kuzatish mumkin bo'ladi. Xuddi protoyulduz kabi, yulduz ham o'sha nurlanishiga ega bo'lib, bu nurlanish endi muhitni akretsiyasi yoki termoyadro sintezi hisobidan emas, balki gravitatsion siqilish natijasida hosil bo'ladi. Yulduzning gravitatsion siqilishi natijasida uning markazidagi temperatura ko'tariladi va vodorod yonishi termo``adro reaksiyasi hosil bo'lishi uchun sharoit yaratadi (rasm-1).

Yulduzning ma`rkazidagi temperatura 10-15 mln. K ga yetganda vodorod yadrolarining kinetik energiyasi, ular orasidagi ta'sir etuvchi kulon itarish kuchini yengishiga yetarli bo'lib vodorod yadrolari ular orasida termoyadro reaksiyasi o'tishi uchun masofagacha yaqinlashadi.



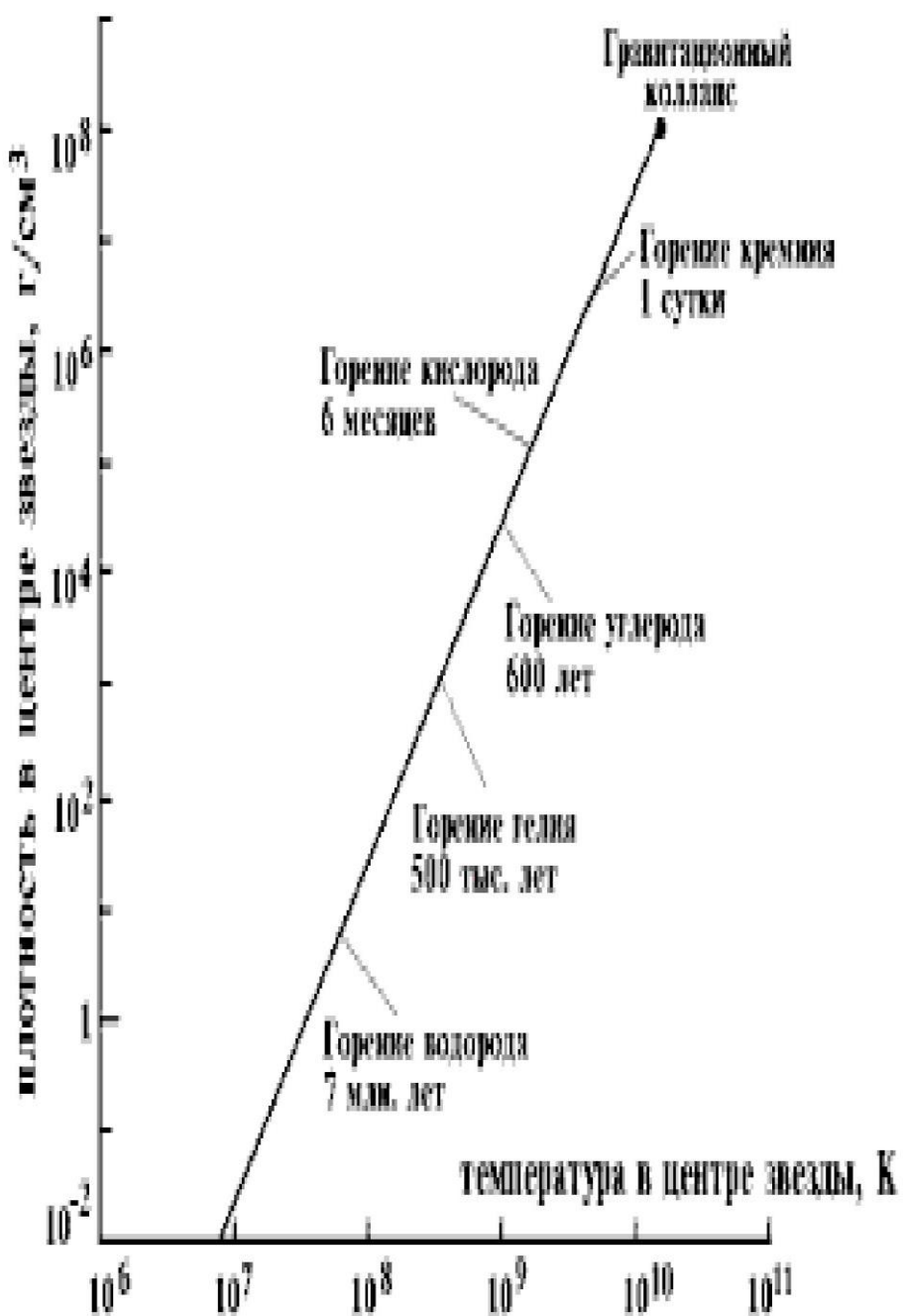
Rasm 1. Massiv yulduzining ($M > 25 M_{\odot}$) evolyutsiyasi etaplan

Natijada vodorodni yonish reaksiyasi boshlanadi. Termoyadro reaksiyalari yulduzning kichik markaziy oblastida boshlanadi. Natijada yulduzning siqilishi to'xtaladi, chunki termoyadro reaksiyasi natijasida chiquvchi nurlanish bosim kuchi gravitatsiya siqilishi kuchini muvozanatlaydi. Yulduzda nurlanish energiyasi mexanizmi sifatan o'zgaradi. Vodorod yadrolarini yonish reaksiyalari boshlaguncha yulduz isitilishi gravitatsion siqilish hisobidan amalga oshayotgan bo'lsa, endi boshqa mexanizm ochiladi, yadroviy sintez reaksiyasi hisobidan endi energiya ajraladi. Yulduz stabil o'lchamga ega bo'lib, massasi quyosh massasiga yaqin bo'lgan yulduzni nurlanishi, vodorod yonishi bilan milliard yillar davomida o'zgarmaydi. Bu yulduzlar evolyutsiyasida eng uzun davrdir. Shunday qilib termoyadro reaksiyalarini boshlang'ich etapida 4 ta proton hisobidan bitta geliy yadrosi hosil bo'ladi. Yulduz markazida vodorod yonishi bilan geliy yadrolari to'planib boradi. Yulduz markazida geliy yadro hosil bo'ladi. Yulduz markazidagi barcha vodorod yonib bo'lganda, energiya vodorod yonishini termoyadro reaksiyasi hisobidan ajralishi to'xtaydi, yana gravitatsion kuch ta'siri ostida siqilish jarayoni boshlanadi. Geliyli yadro siqila boshlaydi. Siqilib geliyli yadro temperaturasi ko'tariladi. Geliy kinetik energiyasi oshib oxir-oqibat bunday yadrolar kulon itarish kuchini yengishga yetarli bo'lib geliy yonishi uchun yadrolar yetarli bo'lgan masofagacha yaqinlashadi.

Termoyadro reaksiyalarini keying etapi geliyni yonishi boshlanadi. Geliyni yonishi yadro reaksiyalari natijasida uglerod yadrolari hosil bo'ladi. Keyinchalik uglerod, neon, kislorodlarni yonish reaksiyalari boshlanadi. Z-ti katta bo'lgan yadrolarning yonishi boshlanishi bilan, yulduz markazidagi temperatura va bosimni oshishi oshuvchan tezlik bilan oshadi va o'z navbatida bu yadro reaksiyalari tezligini oshiradi (rasm-2).

Massiv yulduz uchun (massasi taxminan 25 quyosh massasiga teng) vodorod yonishi reaksiyasi bir necha million yil davom etsa, geliyning yonishi 10 marotaba tez o'tadi. Kislorodning yonishi 6 oy davom etsa, kremniyni yonishi bir sutka

davom etadi. Termoyadro reaksiyalari zanjirida qanday elementler hosil bo'ladi, javob aniq.

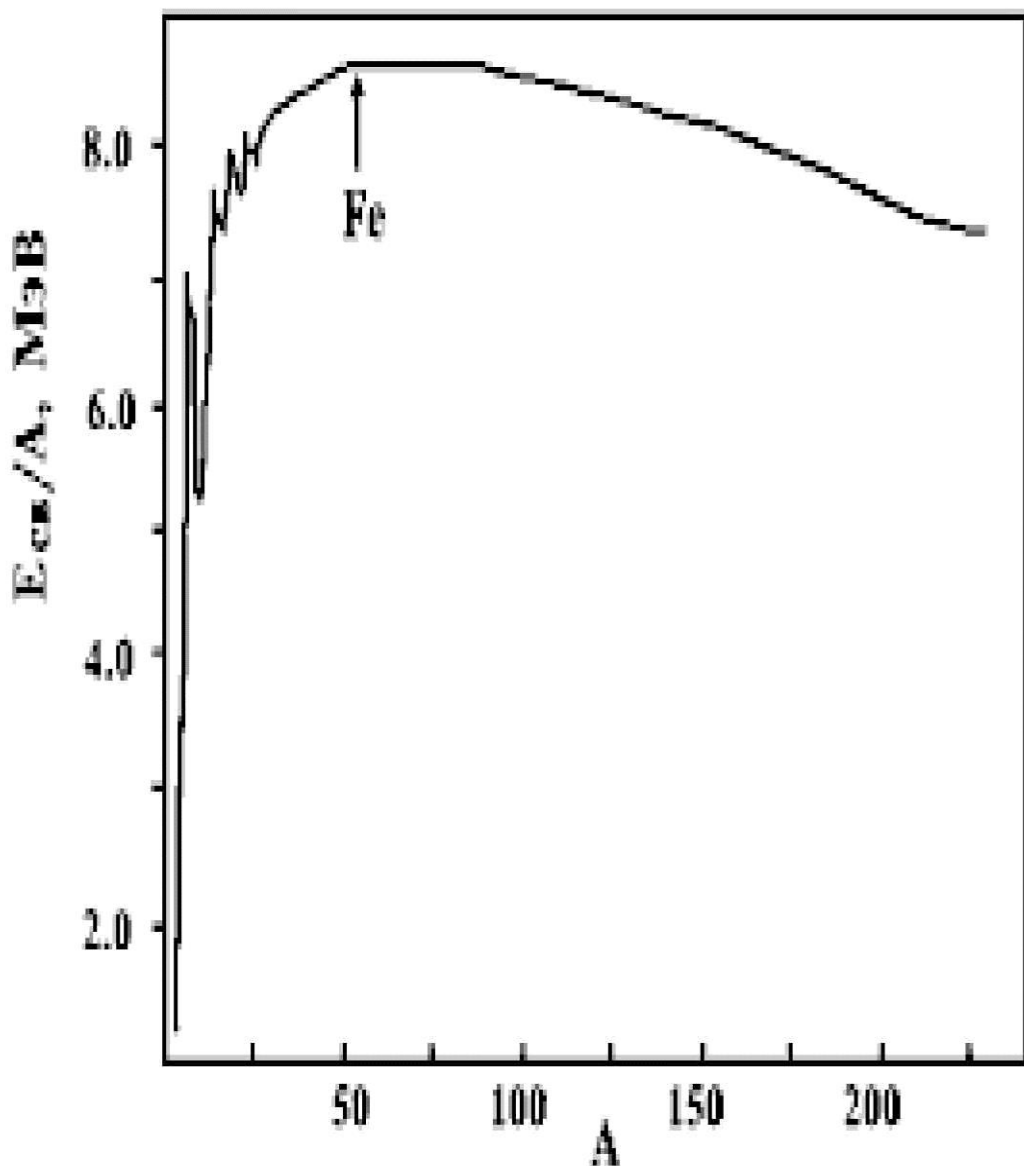


Rasm 2. Massiv yulduzning evolyutsiyasi

Nisbatan og'ir elementlarning sintezi, energiya ajralishi mumkin bo'lgan hollargacha davom etiladi. Termoyadro reaksiyalarining tamom bo'lish etaplarida kremniyni yonish jarayonida temir elementi rayonidagi elementlar hosil bo'ladi. Bu yulduzlarda termoyadro sintezi reaksiyalarining oxirgi etapidir, chunki temir yadrosi rayonidagi elementlar yadrolari maksimal solishtirma bog'lanish energiyasiga ega bo'ladilar (rasm-3). Yulduzlarda kechuvchi yadro reaksiyalarini yulduz massasiga nisbatan bog'langan bo'ladi. Bu bog'lanish shuning uchun vujudga keladiki, yulduz massasi gravitatsion siqilishi kuchini belgilaydi, shuning uchun oxir-oqibat yulduz markazidagi temperaturani maksimal qiymatini belgilaydi. Birinchi Jadvalda turli massali yulduzlar uchun bo'ladigan yadro reaksiyalarini nazariy hisoblash natijalari keltirilgandir.

Jadval - 1. Turli massali yulduzlar uchun bo'ladigan yadro reaksiyalarining nazariy hisoblash natijalari

Massa M _®	O'tishi mumkin bo'lgan yadro reaksiyalarini
0,08	Yo'q
0,3	Vodorod yonishi
0,7	Vodorod va geliy yonishi
5,0	Vodorod, geliy, uglerod yonishi



Rasm 3. Solishtirma bog'lanish energiyasi E_{bog}/A – ning massalar soni A – ga bog'lanishi.

Jadvaldan ko'rinyaptiki, yadro sintez reaksiyalarining to'liq ketma-ketligi og'ir yadrolarda kechadi. Massasi $M < 0,1M_{\odot}$ bo'lgan yulduzlarda gravitatsion siqilish energiyasi yulduzlarni termoyadro reaksiyalari kechishi uchun kerak bo'lgan holgacha keltirishiga yetarli emas. Vodorod yonishi termoyadro reaksiyasi davom etguncha berilgan yulduz, yulduzlarning asosiy ketma-ketligida joylashgan bo'ladi. Vaqt o'tishi bilan yulduz markazida geliy kuli to'planishi bilan uning markaziy qismi siqila boshlab, temperaturasi ko'tariladi. Termoyadro yonish reaksiyasi

jarayoniga markazdan tobora uzoqda joylashgan qismlari qo'shila boshlaydi. Bunday qisilish jarayoni natijasida yulduzni kengayishi va tashqi qatlamlarini sovushi vujudga keladi. Yulduzning o'lchami oshib boradi va uning spektrida qizil rang oshishiga boshlanadi. Natijada yulduz, yulduzlarning asosiy ketma-ketligidan uzoqlashib qizil gigant yoki o'ta gigant oblastiga o'tadi.

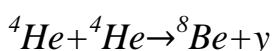
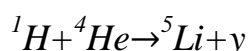
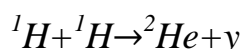
Hozirgi etapda quyoshdagi vodorod zaxirasi yana 100 mld yilga yetadi. Lekin quyoshning markaziy oblastidagi vodorod oqayotganligini hisobga olsak undagi vodorod zaxirasi yana 5-6 mld yilga yetishini topamiz ya'ni 5-6 mld yildan keyin quyosh qizil gigant yulduzga aylanishi kerak. Bunday etapda quyoshning radiusi taxminan 200 marotaba oshadi. Quyosh tashqi qabata avval Merkuriy, keyin Veneraga yetib keladi. Quyosh o'zining siqilishi va kengayishini murakkab sikliga erishadi. Quyoshda dinamik muvozanat buzilishi stadiyasida davriy ravishda uning muhitini tashqariga otilib chiqishi vujudga keladi. Natijada yulduz tashqi qobig'ini yo'qotib, barcha termoyadro reaksiyalari tamom bo'lgandan keyin yalang'och markaziy yadro sifatida qoladi. Hosil bo'lgan yulduzni keyingi taqdiri uning massasiga bog'liq ravishda aniqlanadi. Agar qoldiq yadro yulduz massasi $< M_{\Theta}$ (boshlang'ich paytdagi massasi $< 8M_{\Theta}$) bo'lsa u gravitatsion siqilib o'lchamda kichrayib oq karlikka aylanadi. Izolyatsiyalangan yulduz oq karlik holatiga chegaralanmagan uzoq vaqt davomida sovib keladi. Oq karliklarda dinamik muvozanat gravitatsion kuch va aynigan gaz bosim kuchi tenglashganida vujudga keladi. `

Agar yulduzning massasi $10M_{\Theta}$ oshganda bunday yulduz evolyutsiyasini oxirgi stadiyasi o'ta yangi yulduz deb nomlanadi. Massiv yulduzda yadro reaksiyalari energiyasi tugaganda gravitatsion kuchlar yulduzni markaziy qismini yana siqa boshlaydi. Aynigan gaz bosim kuchi gravitatsion kuchni muvozanatlay olmaydi. Siqilish temperaturani ko'tarilishiga olib keladi. Natijada temperatura shu darajada ko'tariladiki, temir yadrolarining yemirilishi boshlanadi. Yulduz markaziy qismidagi temirdan iborat bo'lgan yadrolar neytronlarga, protonlarga va geliy yadrolariga bo'linadi. Bunday yuqori temperaturalarda ($T=10^9$ K) proton+elektron juftlari effektiv ravishda neytron+neytrino juftlariga aylana boshlaydi. Past

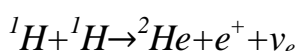
energiyali neytrinolarning ($E_v < 10 \text{ MeV}$) muhit bilan o'zaro ta'sir kesimi kichik bo'lganligi ($\sim 10^{-43} \text{ sm}^2$) sababli neytrinolar tezlikda yadroni tashlab chiqib ketadi, natijada yadro-yulduz soviy boshlaydi. Temirning kichik fragmentlarga bo'linishi jarayoni ham yulduz markaziy qismini intensiv ravishda soviy boshlaydi. Yulduzning keskin ravishda sovishi uni ustuvor ravishda oxirigacha buzadi. Bir necha sekund davomida yulduz yadrosi siqilgan holat neytronli yulduzga yoki qora tuynukka aylanadi. Katta miqdorda energiyani ajralishi bilan o'tuvchi o'ta yangi portlashi vujudga keladi. Zarbali to'lqinlarni hosil bo'lishi natijasida yulduz tashqi qatlamini 10^9 k temperaturagacha isilishi va nurlanish bosimi va neytrinolar oqimi tasiri ostida tashqi fazoga tashlanishi vujudga keladi. Ko'z bilan ko'rinnmaydigan yulduz bir onda nurlanib ko'rinvchiga aylanadi. Ko'rinvchi diapozonda o'ta yangi nurlanish energiyasi butun galaktikani nurlanish energiyasiga teng yoki undan katta bo'lishi mumkin. Misol tariqasida Krabovid tumanligini Xitoy va Koreyada 1054 yilda ko'ringan o'ta yangi portlashi qoldig'i hisoblanadi. Teleskopda 1731 yilda topilgan Krabovid tumanligi hozirgi vaqtida ham kengayishda davom etayapti va hozirgi vaqtida 1054 yilda kuzatilgan portlash joyida bir necha yorug'lik yiliga teng bo'lган diametriga ega tumanlikga aylangan. Katta Magelan tumanligida portlash vujudga kelganligi qayd etilgan. Bu tumanlik bizning galaktikamizdan 170000 yorug'lik yili masofasida joylashgan. O'ta yangini qobig'i portlash natijasida sekundiga bir necha 10 ming kilometr tezlik bilan tashqariga uloqtirilgan SN1987A belgi bilan belgilangan o'ta yangi o'rnida oldin ko'k rangdagi massasi $16 M_\odot$ bo'lган o'ta gigant kuzatilgan. Portlash momentida temperatura keskin oshadi va yulduzning tashqi qobiqlarida portlovchi yadro reaksiyalari deb ataluvchi nukleosintez jarayoni o'tadi. Xususiy holda hosil bo'luvchi intensiv neytrinolar oqimi $A > 60$ massalar oblastidagi elementlarni hosil bo'lishiga olib keladi. O'ta yangi portlashi juda noyob hodisa bo'lib, $\sim 10^{11}$ yulduzdan tashkil topgan bizning galaktikamizda oxirgi 1000 yilda hammasi bo'lib 3 ta o'ta yangi chaqnashi vujudga kelgan. Lekin o'ta yangilarni chaqnashi chastotasi va yulduzlararo fazoda tashlanayotgan muhit miqdori, kosmik nurlar intensivligini tushuntirish uchun yetarlidir. O'ta yangi portlashdan keyin

yulduzning qolgan yadrosi masasiga bog'liq ravishda neytronli yulduzga yoki qora tuynukga aylanadi.

Shunday qilib yulduzlarning evolyutsiyasi jarayonida vodorodning o'gir elementlarga aylanishi sintez jarayoni vujudga keladi. Keyin hosil bo'lган elementlar atrof fazoga o'ta yangi portlash natijasida yoki nisbatan katastrofik bo'lмаган qizil gigantlarda o'tuvchi jarayonlar natijasida atrof fazoga sochilib ketadi. Koinotga sochilgan muhit yana keyingi yulduzlar hosil bo'lishida va evolyutsiyasida yana foydalaniladi. I naseleniyasi va II naseleniyasidagi yulduzlarning evolyutsiyasi jarayonida yana og'irroq elementlar hosil bo'ladi. Elementlarning hosil bo'lish jarayonida yengil elementlar geliy, litiy, beriliy va borning sintezi problemasi muhim rol o'ynaydi. Vodoroddan keyin geliy eng ko'p tarqalgan elementdir. Koinotda har 10 ta vodorod yadrosi bitta geliy yadrosi mos keladi. Bu kattalik koinot turli oblastlari va turli obyektlari uchun o'zgarmasdir. Geliy va vodorod yadrolari sonini nisbati bunday qiymati va uni o'zgarmasligi geliy koinot paydo bo'lishini boshlang'ich momentlarida birlamchi nukleosintez natijasida paydo bo'lган degan gipotezani ilgari suradi. Shuning uchun yulduzlarning II-chi naseleniyasidagi yadroviy nukleosintezni ko'ruvchi modellarida muhitning birlamchi tarkibida geliy yadrolari ham mavjud deb olinadi. Vodorod va geliyning miqdori 10:1 ulushda olinadi. Birlamchi yadrolarni bunday tarkibi birdaniga keyingi yadroviy reaksiyalar zanjirini yozishda ma'lum qiyinchiliklarga olib keladi. Muammo shundan iboratki, ikkita vodorod yadrosi orasidagi ikkita geliy yadrosi orasidagi, vodorod yadrosi va geliy yadrosi orasidagi reaksiyalar yoki bog'lanmagan ^2He , ^5Li sistemalarga yoki yashash vaqtি 10^{10} s bo'lган ^8Be yadrosini hosil bo'lishiga olib keladi.



Og'ir yadrolarni hosil bo'lish reaksiyalarini zanjiri ikkita vodorod yadrosini o'zaro ta'sir etib deyteriy yadrosi hosil bo'lishidan boshlanadi.



Bunday reaksiya kuchsiz ta'sir asosida o'tganligi sababli yerda hech qachon kuzatilmagan. Bunday reaksiyani kesimini juda kichikligi vodorodni yonish reaksiyasi nima uchun yulduzlar evolyutsiyasida eng uzoq davom etadigan reaksiya ekanligini tushuntiradi.

Litiy, beriliy va bor hosil bo'lishini tushuntirish, bunday yadrolarni kichik bog'lanish energiyaga ega bo'lishi bilan bog'liq bo'lган muammolarga uchraydi. Shuning uchun yulduzlar qa'rida ular effektiv ravishda hosil bo'lmasdan effektiv ravishda buzilishi kerak. Litiy yadrolarining katta qismi boshlang'ich epoxadagi nukleosintez natijasida hosil bo'lган bo'lishi mumkin. Beriliy, bor va qisman litiy katta energiyali kosmik zarrachalarni gaz changli muhit bilan o'zaro ta'sirida va kichik energiyali protonlarni yulduzlar sirtidan tashqariga tashlanayotgan muhit bilan ta'siri natijasida hosil bo'lган bo'lishi mumkin.

Ximyaviy elementlarni yulduzlarda hosil bo'lishini tushuntirish hozirgi zamon astrofizika fanining muhim xulosalaridan iboratdir. Elementlarning paydo bo'lishi yadroviy nazariyasi bunday elementlarni koinotda tarqalishini va qanday sharoitlarda hosil bo'lishini hisobga oladi. Shunday qilib nukleosintez savollari bir tomonidan yulduzlarni va bir butun koinotni tuzilishi va evolyutsiyasiga bog'liq bo'lsa, ikkinchi tomonidan yadro ta'sirlarining xususiyatlariga bog'liqdir.

Bir qator murakkab haligacha yechilmagan muammolar borki, bunday muammolar koinotda elementlarni paydo bo'lish va evolyutsiyasi to'la nazariyasini hosil qilsak. Bular quyidagi muammolar:

1. Birlamchi yulduzlar massasini ifodalash va vaqtida va fazoda o'zgarish muammozi.
2. Past energiyalarda zarralarning to'g'risidagi muammolar.
3. Kuchsiz o'zaro ta'sir ostida o'tuvchi reaksiyalarni korrekt hisobga olinishi.
4. Radiaktiv yadrolar bilan neytronlarni o'zaro ta'siri kesimi to'g'risidagi ma'lumotlarni yo'qligi. Bu muammo r-jarayonda hosil bo'lувчи elementlarni ifodalashda paydo bo'lувчи muammo.

O'ta yangilarni portlashiga olib keluvchi mexanizmlarni yanada aniqlash

muammosi. Oxirgi yillarda bu muammolarni yechish arsenali kengaydi koinotni optik kuzatishga uni radiopozonda kuzatish, mikroto'lqinli detetorlar yordami qayd qilish, rentgen nurlanishni, kosmik zarralarni qayd qilish usullar paydo bo'lganligi tushunarliki yuqoridagi muammolarni kelgusida yechish imkonini beradi.

§1.2. Yulduzlarning evolyutsiyalarini belgilovchi reaksiyalar

Yulduzlarning evolyutsiyalarini belgilovchi quyidagi reaksiyalarni ajratish mumkin:

1. H - jarayon - vodorod yadrolarini geliy yadrolariga aylanish jarayoni. Bunday jarayonlar Quyosh va Quyosh tipidagi yadrolar markazida, $\rho_c=10^5 \text{ kg/sm}^3$ zichlik va $T_c=15\cdot10^6 \text{ K}$ temperaturalarda quyidagi ${}^4H \rightarrow {}^4He$ sxemada amalga oshadi.
2. α - jarayon - uglerodni ${}^3He \rightarrow {}^{12}_6C$ sxemasida sintezi jarayonlari majmui. Bundan tashqari keyingi kislород, neon, magnit yadrolarini sintez jarayoni. Bunday jarayonlar $T_c \geq 5\cdot10^8 \text{ K}$ temperaturalarda massasi 1,5 Quyosh massasidan katta bo'lgan yulduzlarda amalgam oshadi.
3. t - jarayon - temir guruhidagi elementlar yadrolarini hosil bo'lish jarayonlari (${}^{16}O + {}^{16}O \rightarrow {}^{28}Si + {}^4He$, ${}^{28}Si + {}^{28}Si \rightarrow {}^{56}Ni$, va hokazolar). Bunday reaksiyalar $T_c \approx 3\cdot10^9 \text{ K}$ temperaturalarda o'ta yangi yulduz chaqnashidan oldingi momentlarda vujudga keladi. Yulduzlar evolyutsiyasini oxirgi etaplarida amalga oshuvchi sintez jarayonlari:
4. S - jarayon - yulduzlar rivojlanishining oxirgi etaplarida $m > 1,5m$ massali yulduzlar yadrolarida neytronlarni ushlab qolish jarayoni bo'lib, bunda vismut (${}^{209}Bi$) - gacha bo'lgan kimyoviy elementlar yadrolari hosil bo'ladi. Bunda erkin neytronlar manbai bo'lib, ${}^{12}C + {}^{12}C \rightarrow {}^{23}Mg + n$, ${}^{16}O + {}^{16}O \rightarrow {}^{31}Si + n$ reaksiyalarini xizmat qiladi.
5. r - jarayon - o'ta yangi yulduzni chaqnashi paytida uning qa'rida o'tuvchi tez jarayon 100 sekund vaqt davomida atom yadrolari tomonidan

neytronlarni ushlab qolishi natijasida yadrosini massalar soni , $A \approx 270$ - gacha bo'lgan (uran va toriy ham) kimyoviy elementlarni hosil bo'lishi xususiy holda S - jarayon natijasida $A = 86, 130$ va 196 massalar soni yaqinidagi ortiqcha yadrolar hosil bo'lsa, r - jarayon natijasida $A = 90, 140$ va 210 yaqinidagi ortiqcha yadrolar hosil bo'ladi.

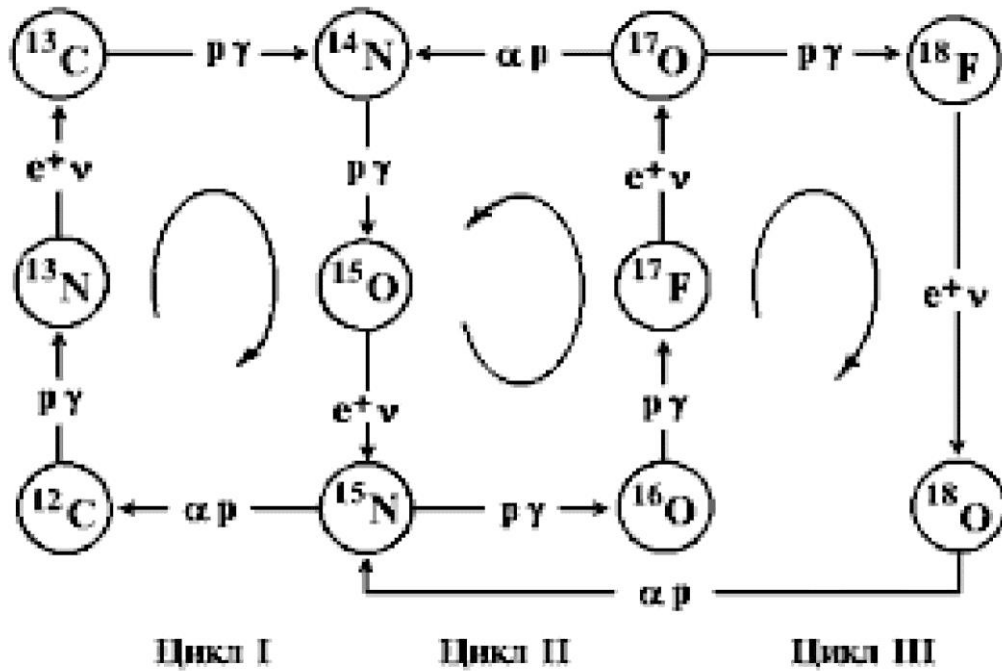
O'ta yangi yulduzlar chaqnashi davomida (β - yemirilishlar $^{56}Ni \rightarrow ^{56}Co \rightarrow ^{56}Fe$ ketma-ketligi zanjiri natijasida yadrolarni hosil bo'lishi, bunday yemirilishlar kuchli γ - nurlanish bilan amalgam oshishi aniqlangan. Yanada massiv yulduzlar qa'rida yadro tomonidan elektronlarni ushlab qolish jarayoni natijasida, neytronli yulduzlarni vujudga kelishi ko'rsatilgan.

Bob-II. Yulduzlar evolyutsiyasining oxirgi stadiyalari

§2.1. Uglerod va kislorodning yonishi

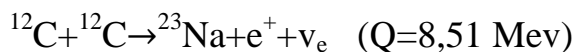
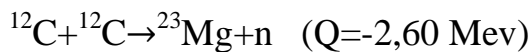
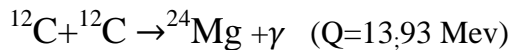
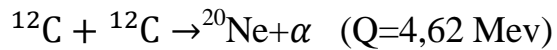
Rasm 4-da massasi $5 M_0$ bo'lgan yulduzda uglerod yona boshlanishi momentidagi nazariy hisoblab topilgan ximiyaviy tarkibi ko'rsatilgan. Rasmning x o'qida Quyosh massasi birligidagi yulduz massasi ko'rsatilgan bo'lsa, Y o'qida C, He va H elementlarini massalarini ulushi ko'rsatilgan. Turli nazariy madellar ma'lum detallariga ko'ra bir-biridan farq qilib ularning umummiyligi quyidagilardadir.

1. Yulduz markaziy qismida vodorod yonishi natijasida hosil bo'lgan uglerodga aylangan geliy ulushini ko'pligi.
2. Yonmagan geliy yulduzning nisbatan tunuk qatlamida joylashgan. Bu qatlarning massasi yulduz to'la massasini 10 % - idan oshmaydi.
3. Yonmagan vodorod yulduzning tashqi qatlamlarida joylashgan. Yetarlicha massiv yulduzlarda geliy yonishi fazasidan keyin uglerod ($Z=6$) yonish fazasi, neon ($Z=10$) yonish fazasi va kislorod ($Z=8$) yonish fazasi vujudga keladi. Bu yadrolar yetarlicha katta zaryadga ega bo'lganliklari tufayli Kulon barerini yengishda ularni yona boshlashi uchun nisbatan yuqori temperatura talab etiladi. Massiv yulduzlarda uglerod termodinamik muvozanat holatida yonishi mumkin.



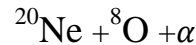
Rasm 4. Massasi $5 M_0$ bo'lgan yulduzning uglerod yona boshlanishi momentidagi ximiyaviy tarkibi keltirilgan. Yulduz tarkibidagi C, He va H uning umumiy massasi ulushida ko'rsatilgan.

Nazariy hisoblashlar ko'rsatadiki ($M=25 M_0$ yulduzlar uchun o'tkazilgan) uglerodni yona boshlanishi $8 \cdot 10^9$ K temperaturada boshlanadi, bunda zichlik taxminan 10^5 gr/sm³ bo'ladi. Uglerod yonishini reaksiyalari quyidagilardir.

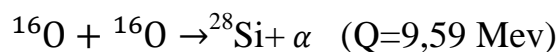
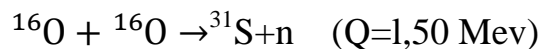
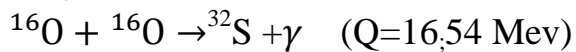


$^{12}C + ^{12}C$ reaksiyalarning kesimi 2,4 Mev energiyalardan labaratoriya sharoitlarida o'lchangan. Bunday energiyada kesim 10^{-8} bamga teng. Uglerod yonish temperaturasi $8 \cdot 10^8 K$ o'zaro ta'sirlanuvchi zarralarni E_0 1,7 Mev energiyasiga mos keladi. Bunday energiyalarda kesimni ekstrapolyatsiya qilingan qiymati $\sim 10^{-13}$ barnga tengdir. Uglerod yonishini asosiy mahsulot ^{20}Ne hisoblanadi. Bosim va

temperaturani keyingi oshishi ^{20}Ne yadrosini quyidagi fotobo'lishi reaksiyasi natijasida bo'ladi.



Bu ^{20}Ne yadrolarda α -zarralar bog'lanish energiyasini kichikligi tufayli ($E^a(^{20}\text{Ne})$ 4,73 Mev) vujudga keladi. Solishtirish uchun ^{16}O yadrosi α -zarralarni bog'lanish energiyasi 7,2 Mev ekanligini ko'rsatamiz. Keyingi stadiya kislородни yonish reaksiyalari quyidagilardir.

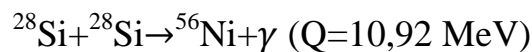


Uglerod va kislород yadrolarining yonishini asosiy xususiyatlari quyidagilardir.

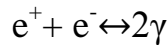
1. Reaksiya kanallarini ko'pligi.
2. Oxirgi hisobda paydo bo'lувчи protonlar, neytronlar, y-kvantlar tezlik va yangi reaksiyalarga kirishib, mumkin bo'lган reaksiya kanallari sonini va izotoplar sonini oshiradi.
3. Uglerod va kislород yonishini asosiy mahsuloti ^{28}Si bo'lib.
4. Uglerod yonishi reaksiyasidan kislород yonishi reaksiyasiga o'tishi bilan yulduz neytrinom ravshanligini oshishi. Yulduz markazidagi temperatura $0,5-10^9\text{k}$ dan $2,5-10^9\text{k}$ gacha oshishida neytrinolar yorqinligi 6 tartibda oshadi.

§2.2. Kremniyning yonishi

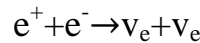
Kremniy yonishi xarakterli sharoiti quyidagichadir temperatura $(3-5)10^9\text{k}$ bo'lsa, zichlik $10^5-10^6 \text{ gr/sm}^3$ ga tengdir. Kremniyning yona boshlashi bilan yonish jarayoni o'zgaradi. ^{56}N hosil effektiv bo'lishidan Kulon baryeri yetarlicha kattadir.



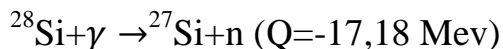
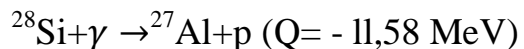
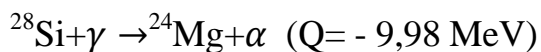
Yulduzlar evolyutsiyasining bunday etapida, evolyutsiya jarayonida neytronlar, protonlar, α -zarrachalar va γ -kvantlar yordamida o'tuvchi reaksiyalar muhim rol o'ynaydi. Bunday reaksiyalar birlamchi ^{28}Si yadrosi asosida temir yadrosi maksemumidagi elementlar hosil bo'lishiga olib keladi. Yadro reaksiyalariga nisbatan og'ir yadrolar qatnashishi bilan yulduz temperaturasini oshishi vujudga keladi. Temperatura 10^9k yetishi bilan yulduzlar evolyutsiyasida yangi etap boshlanadi, yadro aylanishlariga y-kvantlar va elektronlar qo'shilishi bilan bog'liq bo'lgan elektromagnit elektronlar rol o'yna boshlaydi. Fotonlarning temperatura oshishi bilan energiyasini oshishi ($E_T \sim T$) fotonlar soni ham osha boshlaydi ($N_T \sim T^4$). Kompakt yulduz materiyasi bilan muvozanatda bo'lgan fotonlarning energiyasi yadro kulon maydonida juft hosil qilish uchun yetarli bo'ladi. Bunda quyidagi



jarayonalri bilan birgalikda yana quyidagi jarayonlar



hosil bo'lishi mumkin. Neytrinoli jarayonlar kuchsiz o'zaro ta'sir natijasida hosil bo'ladi. v_e va \bar{v}_e ta'sirlarning kesimi kichik ($\partial \sim 10^{-42} - 10^{-43} \text{ sm}^3$) neytrinolar yulduz markazidan tezlik bilan energiya olib ketadi. Ikkita kremniy yadrosini bir-biriga tegishi uchun sharoitlardan oldinroq, fotonlarning intensivligi va energiyasi kremniy yadrosini fotobo'linishi hosil bo'lishi uchun yetarli bo'ladi.



Natijada ko'plab n, p, va α -zarralar hosil bo'lib ularni roli kremniy yadrosini yonishida katta bo'ladi. ^{28}Si va katta Z-ga ega bo'lgan reaksiya produktalari termodinamik muvozanatda n, p va γ kvantlar bilan nurlanib temir maksimumi rayonidagi ko'plab elementlarni hosil qiladi. 10^9 K temperaturalarda boruvchi yadro reaksiyalarini ikkiga bo'lish mumkin. Birinchi guruhiga shunday yadro reaksiyalarini kiritish mumkinki, bunda katta A-yadro massali yadrolarni hosil

bo'lish tezligi γ kvantlarni ta'siri ostida o'tuvchi yadrolarni bo'linish reaksiyasining tezligidan katta bo'ladi. Ana shunday reaksiyalar natijasida massalari soni A~60 gacha teng bo'lgan yadrolar tug'iladi. Massalar sonini buoblastida elementlar tarqalishini keskin kamayishi bu oblastda kulonli barerni ta'siri ostida vujudga keladi. Ikkinci guruhga kiruvchi reaksiyalar yulduz evolyutsiyasining nisbatan tinch davrlarida energiyaning eneratsiyasiga sababchidir. Yulduz markazida temperaturani oshishi bilan katta A massali elementlarni hosil bo'lishida fotobo'linish reaksiyalarini roli oshib boradi, chunki γ kvantlarni yadro bilan to'qnashishi natijasida yadrolarni bo'linishi vujudga keladi. Eng xarakterli reaksiyalar quyidagilardir -(γ , p) va (γ , n). Fotobo'linish reaksiyaları ikkinchi tip reaksiyalarga kirib protonlar va neytronlar hosil bo'lishiga olib kelib, bunday protonlar va neytronlar uglerod va kislorod yonishi mahsulotlari bilan o'zaro to'qnashadi. (γ , p) va (γ , n) reaksiyalarning bo'sag'asi α zarrali zarralar uchun ($N\ \alpha$) qo'shni yadrolar uchun bo'sag'asidan katta bo'lganligi sababli ular fotonlar ta'sirida kam buziladi, ya'ni ularni nisbatan tarqalishi oshadi. Bunday effekt α -zarrali to ^{56}Ni ($T_{1/2}=6,1$ kun) izotopigacha kuzatilgan. Shunday qilib evolyutsiyaning bunday etapida katta A li jarayonlar fotobo'linish jarayoni bilan konkurensiyalashadi.

A-zarralarni ushslash reaksiyaları teskari fotobo'linishi reaksiyaları bilan muvozanatda bo'ladi.



E-jarayonlar deb ataluvchi bunday reaksiyalar termodinamik muvozanat sharoitida o'tadi.

Hisoblar ko'rsatadiki, bu ikki mexanizmdan foydalanib elementlarni o'rtacha massali yadrolar sohasidagi va temirning maksimumi rayonidagi tarqalishini yaxshi tushuntirish mumkin. Gap shundaki yadro energiyasi ajraladigan elementlar zanjirining oxirida turadi. Bu quyidagicha tushuntiriladi, bitta nuklonga to'g'ri keluvchi solishtirma bog'lanish energiyasi A ning funksiyasi

sifatida temir rayonida maksimumga ega bo'ladi. Shuning uchun temirdan massalar soni katta bo'lgan elementlar sintez reaksiyalari energiya yutilishi bilan o'tadi. Yulduzlarda geliydan germaniy elementini taqsimlanishini tushuntiruvchi hisoblashlarni ko'rsatishicha, hisoblashlar natijalari temir maksimumi rayonigacha elementlarni taqsimlanishini to'g'ri ifodalaydi. Bundan bu modelda olingan moddalar taqsimlanishi, moddalarni yulduzlarda taqsimlanishini real situatsiyasiga mos keladi. Kremniy yonishi situatsiyasida yulduz o'zining maksimal o'lchamiga ega bo'ladi, chunki yulduz markazida ketma-ket vodorod , geliy, kislorod, kremniy yadro zapaslari tamom bo'lgandan keyin, yulduz yadrosi qisila boshlaydi, yadro muhiti zichligi ketma-ket oshadi va termoyadro sintez reaksiyalari yulduzning periferiyasiga ko'chadi hamda yulduz qobig'i kengayadi. Agar boshlang'ich holatda yulduz bir jinsli bo'lib vodorod va geliydan tashkil topgan bo'lsa, oxirda u qavatli tarkibdan tashkil topgan bo'ladi. Yulduz markazida temir gruppasiagi og'ir elementlar joylashgan bo'lsa, periferiyasida yengil elementlar joylashgan bo'ladi. Tashqi qobiq vodoroddan tashkil topgan bo'ladi. Hisoblashlar ko'rsatadiki, yulduz markazidan uzoqlashgan sari kichik A li yulduzlar ulushi oshib boradi. Massasi $25M_{\odot}$ dan katta bo'lgan yulduzlarda o'tkazilgan hisoblashlarni ko'rsatishicha, yulduzning markaziy sohasi temirdan va uncha katta bo'limgan neytronlar, γ ta'siri ostida hosil bo'luvchi temir dissotsiatsiyasi mahsuli bo'lgan α zarralaridan tashkil topgan bo'ladi. $M/M_{\odot}=1,5$ rayonida ^{28}Si , ^{20}Ne va ^{16}O yadrolari muhitning asosiy qismini tashkil etib, u 1,6 dan 6 M/M_{\odot} oblastgacha o'z ichiga oladi. Yulduz tashqi qobig'i ($M/M_{\odot}>8$) asosan vodorod va geliydan tashkil topgan bo'ladi. Biz keltirgan elementlarni bunday yulduzni ichida tarqalishi, yulduzning o'ta yangi holatidan oldingi momentiga mos keladi. Bunday stadiyadan keyin temirni γ kvantlar ta'siridagi fotobo'linishi yulduz markaziy qismini qisilishi keyingi portlash jarayoniga olib keladi.

§2.3. Neytronlar ta'siri ostida o'tuvchi jarayonlar. S – jarayon

Temirdan keying oblastda turuvchi elementlarni tarqalishini nisbatan massalar soni I-ga kuchsiz bog'langanligi bu oblastga o'tganda elementlarni hosil bo'lish mexanizmi o'zgarganligini bildiradi. Bunday elementlarni zaryadlangan zarralarning ta'siri ostida hosil bo'lishi kuchli kulon bareri tufayli bositgan bo'ladi. Bundan tashqari katta A – li yadrolarni ko'pchiligi β radiaktiv ekanligini hisobga olish kerak. Hozirgi zamон tasawurlariga ko'ra og'ir elementlar neytronlarni ushslash reaksiyalarida hosil bo'ladi. Odatda neytronlarni tez - rapid (r) va sekin - slow (s') ushslash jarayonlarini ajratish kerak. Bu ikkita mexanizm neytronlarni ushslash tezligini P-yashirilish tezligiga nisbati bilan farqlanadi. $ip/i(n, y) \ll 1$ sharti bajarilganida, og'ir elementlarbi hosil bo'lish jarayonida stabil va katta yarim yemirilishi davriga ega bo'lgan (3 radiaktiv yadrolar hisobga olinadi). Ya'ni elementlarni hosil bo'lishi (3 tabil dalasi bo'ylab hosil bo'ladi). Ketma-ket neytronlar yadrolarga qo'shiladi va bunda faqatgina nisbatan stabil yadrolar hosil bo'ladi. Yarim yemirilish davri kichik bo'lgan yadrolar neytronni ushlashidan oldin yo'qoladi. Shuning uchun tushunarlik, og'ir elementlarni hosil bo'lishi qo'rg'oshin va vismutda tamom bo'lishi kerak. Hozirgi zamон tasawurlariga ko'ra $A > 60$ oblastidagi elementlarni yarmi S-jarayonlarda hosil bo'ladi. Sekin o'tuvchi S-jarayonlar qizil gigantlarni obolochkasida o'tadi. Izotoplarning konkret ko'rinishi va ular orasidagi nisbat neytronlarni sekin ushslash reaksiyalarida (3 -yemirilish tezligi va neytronlarni ushslash tezligi nisbatiga bog'liq bo'ladi). Agar $tp/T(\pi, y) \ll 1$ bo'lsa, og'ir elementlarni hosil bo'lish jarayoniga yarim yemirilish davri kichik bo'lgan (r - elementlar) P-radiaktiv elementlar hisobga olinadi. Nazariy hisoblashlarni ko'rsatishicha S-jarayon vujudga kelishi uchun neytronlarni zichligi 10^{10} gr/sm³ bo'lishi kerak. Og'ir yadrolarni neytronlarni ushslash jarayoni natijasida aylanish natijasida og'ir yadrolarga aylanishida birlamchi yadro sifatida "temir cho'qqisi" yadrosi olinadi. Neytronlarni 10^{10} gr/sm³ zichligida temirni neytronlar bilan nurlanishida qo'rg'oshin hosil bo'lish to'la vaqt 10³ yilga yaqin bo'ladi. Birlamchi yadro sifatida nisbatan yengil yadrolarni olinishi katta

qiyinchiliklarga uchraydi. Birinchidan birlamchi yadro sifatida qancha yengil yadro olingan bo'lsa, shunga ko'p neytronlarni ushlashi kerak bo'lib, og'ir elementlarni hosil bo'lishida shunga katta vaqt talab etiladi. Ikkinchidan A-5 va A-8 li stabil yadrolar mavjud emasligi, bunday rubejni neytronlarni ushslash yo'li bilan o'tish mumkin bo'lmaydi. Uchinchidan, ^{12}C , ^{16}O va ^{43}Ca yadrolar tomonidan neytronlarni ushslash radiaksion reaksiyalarini kesimi juda kichik bo'lganligi sababli bunday jarayonda og'ir elementlarni hosil bo'lishida bir necha tartibda ko'p vaqt talab etiladi. Bu argumentlar "temir cho'qisi" yaqinidagi birlamchi nuklid yadrolarni tanlashda muhim bo'ladi. Neytronlarni ushslash orqali og'ir elementlarni hosil bo'lish mexanizmida quyidagilar muhim argument bo'lib xizmat qiladi. Neytronlarni ushslash reaksiyasi kesimi $\delta_{ny}(A)$ va yadrolarni tarqalishi $n(A)$ ning ko'paytmasi (**3**) stabillik dominasida monoton o'zgaruvchi bo'lib, berilgan vaqtda δ_{ny} kesim va (ny) reaksiya kesimi yadrodan, yadroga o'zgaruvchandir. Buni quyidagicha tushuntirish mumkin $n(A)$ yadrolar sonining A ga ko'ra o'zgarishi quyidagi tenglama bilan ifodalanadi

$$\frac{dn}{dt} = kn(A-1)\delta_{ny}(A-1) - kn(A)\delta_{ny}(A)$$

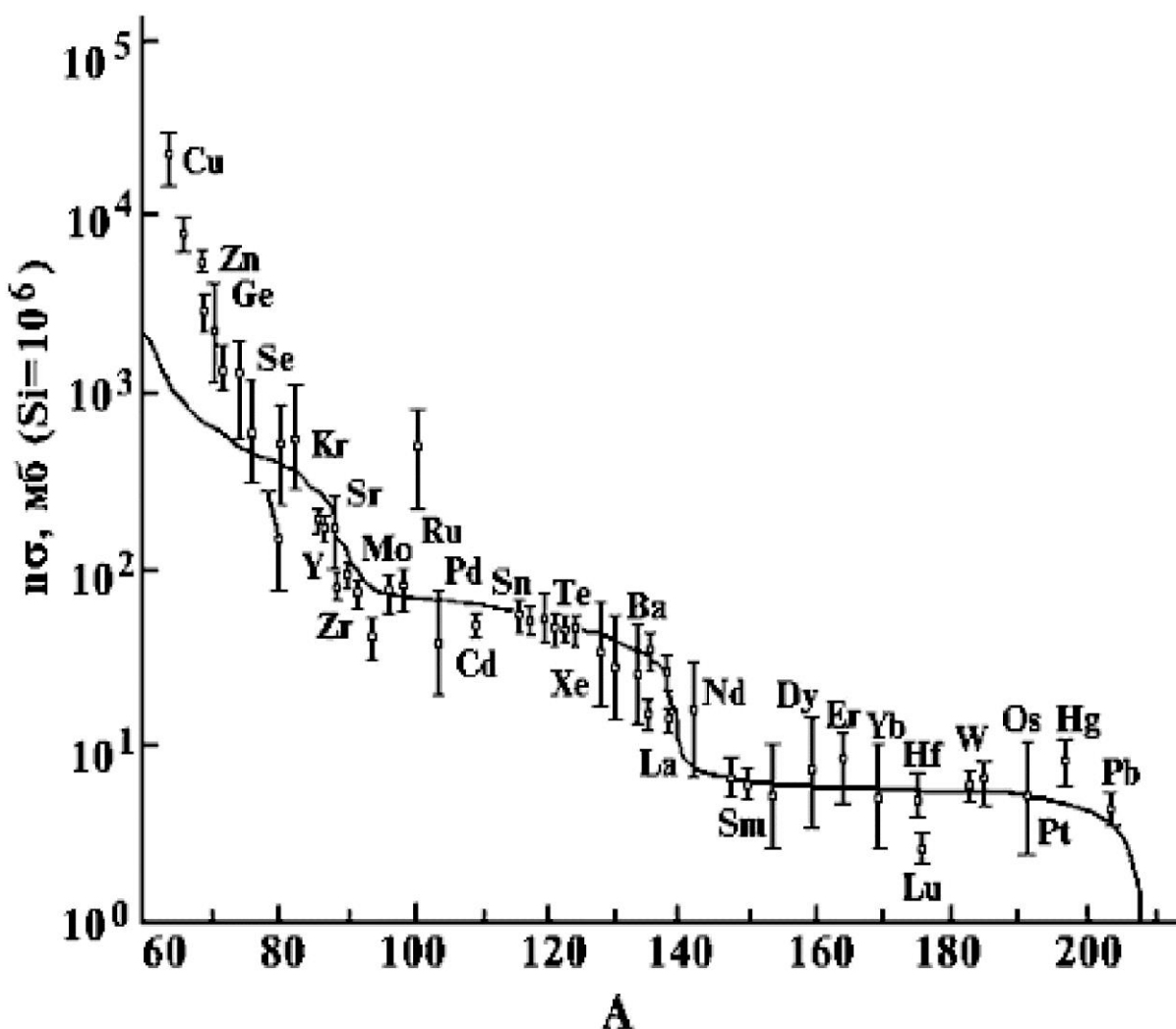
bunda k-neytronlar oqimi. Agar jarayon statsionar bo'lsa, $\frac{dn}{dt}=0$. Bunda quyidagini topamiz

$$n(A-1)\delta_{ny}(A-1) = n(A)\delta_{ny}(A) = \text{const.}$$

Oxirgi tenglikdan neytronlarni radiatsion ushslash kesimi qancha kichik bo'lsa, S-jarayonda hosil bo'luvchi elementlar shuncha tarqalgan bo'lishi kerak. Xususiy holda bu nima uchun magicheski N va Z sonly yadrolar ko'p tarqalishini ko'rsatadi. Bu shunga bog'liq bo'ladiki, mogicheski yadrolar uchun neytronlarni radiatsion ushslash reaksiyasi kesimi magicheski bo'lman yadrolar uchun kesimdan bir tartibda tushadi. Neytronlarni ushslash kesimini abalochkalari to'ldirilgan yadrolarda kichikligini sababi quyidagidir. Kichik energiyalar oblastida $E_n \sim KT \sim 10-100$ Kev neytronlarni radiatsion ushlanishi $\delta_{ny} \sim G\gamma/D$ bo'lib, bunda G_r rezonanslarni radiatsion kengligi, D-rezonanslar orasidagi masofa Gy-ni kattaligi qo'shni yadrolar uchun ham o'zgaradi, chunki pastki holatlarga turli xil o'tishlar soniga bog'liq bo'ladi. Berilgan vaqtda D kattalik magik yadrolar uchun keskin

o'zgaradi. Elementlarning tarqalishida $A=90$, $A=138$ va $A=208$ da maksimumlar kuzatilishi kerak. Bu maksimumlar neytronli obolochkalarni $N=50$, 82 va 126 dagi to'ldirishiga mos keladi. Elementlarning tarqalishi chizig'ida bu maksimumlar osongina kuzatiladi. S-jarayon mustahkam eksperimental tasdiqga ega.

Beshinchi rasmda S-jarayonda neytronlarni yadrolar tomonidan ushlash reaksiyasi $\delta=\delta_{ny}$ kesimini nukliodlar tarqalishi n ko'paytmasini yadrolar massalar soni a ga bog'lanishi ko'rsatilgan ($E_n \sim 30$ Kev). Modellardan kelib chiqqan natijalarga ko'ra (ularda faraz qilinadiki neytronlar ketma-ket ravishda sekinlik bilan ushlanadi) $n=8$ haqiqatdan ham ba'zi uchastkalarda ($A=90-130$, $140-190$) doimiy bo'lib, buni 5-chi rasmdagi natijalar tasdiqlaydi.

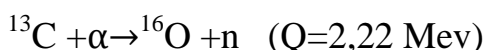
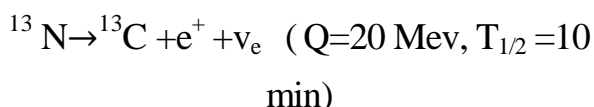
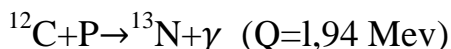


Rasm 5. Quyosh sistemasi elementlan uchun $n\sigma$ -ni A-ga bog'lanishi

. Yulduzlarda S-jarayon ketishi uchun quyidagi shartlar bajarilishi lozimdir:

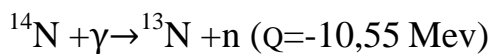
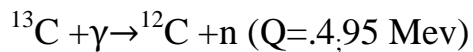
1. Neytronlarni ushslash bilan o'tuvchi jarayonlar amalga oshishi uchun yulduzlarda temperatura 10^8 K-dan katta bo'lisi kerak.
2. Neytronlarni zichligi 10^{10} sm⁻³ katta bo'lisi kerak.
3. Yulduzlarda muhit yadrolari tomonidan neytronlarni ushslash jarayoni vujudga kelib, og'ir atom yadrolari hosil bo'lisi uchun birinchi va ikkinchi shartlar uzoq vaqt 10^3 yildan ham katta vaqt davomida bajarilishi kerak.

S-jarayon mahsulotlari yulduzning tashqi obolochkalariga effektiv ravishda chiqarilib, keyingi yadro reaksiyalarisiz yulduzlararo muhitga o'tishi kerak. S-Jarayonni ifodalashda asosiy muammo neytronlar manbasi muammosidir. Odatda neytronlar manbasi sifatida quyidagi ^{13}C (a, n) ^{16}O va ^{22}Ne (a, n) ^{25}Mg yadro reaksiyalari olinadi. Birinchi reaksiyani o'tishi uchun shunday sharoit bajarilishi kerakki, unda birgalikda uglerod va geliyini yonishi vujudga kelishi kerak. Bunday sharoit sifatida shunday mexanizm qaraladiki, yulduzda geliy yonayotgan konvektiv obolochkasi vodorodga boy bo'lgan obolochkaga tegadi. Neytronlarni hosil bo'lisi quyidagi reaksiyalar seepochkasida yuz beradi.



$^{13}\text{C} + \alpha \rightarrow ^{16}\text{C} + n$ reaksiyalari effektiv ravishda $>10^8$ K reaksiyalarda yuz beradi. $^{22}\text{N} + a \rightarrow ^{25}\text{Mg} + n$ ($Q = -0,48$ MeV) reaksiyasida neytronlarni hosil bo'lisi, geliy yonishi zonasida ^{14}N yadrolarni bo'lismiga bog'liq bo'ladi (ikkita ketma-ket α -ushslash va β^+ yemirilishi natijasida hosil bo'lgan ^{22}Na yadrosi ^{22}Ne yadrosidagi ^{14}N yadrosidan oshadi). Buning uchun geliy yonayotgan yulduzning birlamchi muhitida ^{14}N izotoplari bo'lisi kerak. ^{14}N yadrolarining manbasi CNO sikl hisoblanadi.

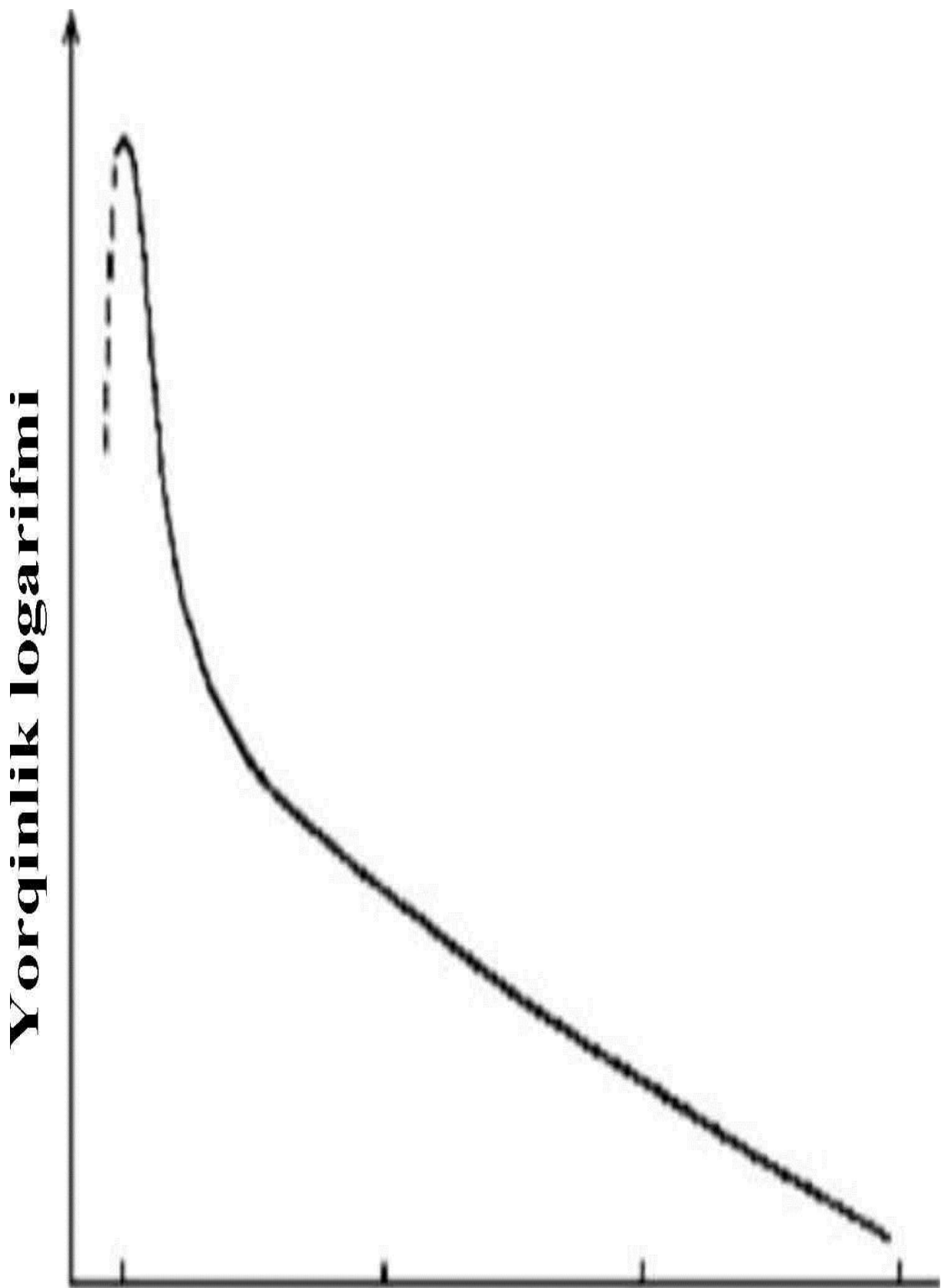
Neytronlarni $>10^8$ K temperatura va $10^9\text{-}10^{11}$ gr/sm³ zichliklarda qo'shimcha manbasi fotoyadro (fotoneytronli) reaksiyalari bo'lishi mumkin.



Temperatura oshishi bilan fotoneytron reaksiyalarining roli oshadi. S-jarayon natijasida og'ir elementni hosil bo'lish sharoiti qizil gigantlarda mavjuddir. S-jarayon hisobida Z=83 gacha bo'lган og'ir elementlarni hosil bo'lish tushuntriladi. Z=84-89-li yadrolar stabil izotoplariga ega bo'lmasdan ular radiaktivdir. Shuning uchun S-jarayon bilan Z ning bu oblastidan o'tish mumkin emas. Lekin tabiatda Z=90 (boriy) va Z=92 (uran izotoplari ^{235}U va ^{233}U) mavjuddir. Bu yadrolarning mavjudligini tushuntirish yulduzlarda S-jarayon bilan birgalikda R-jarayon neytronlari tez ushslash yadro reaksiyasi mavjudligi bilan tushuntiriladi. R-jarayonda nestabiya yadrolar tomonidan neytronlarni tez ushslash jarayoni vujudga keladi.

§2.4. O'ta yangi yulduzlardagi nukleosintez jarayoni

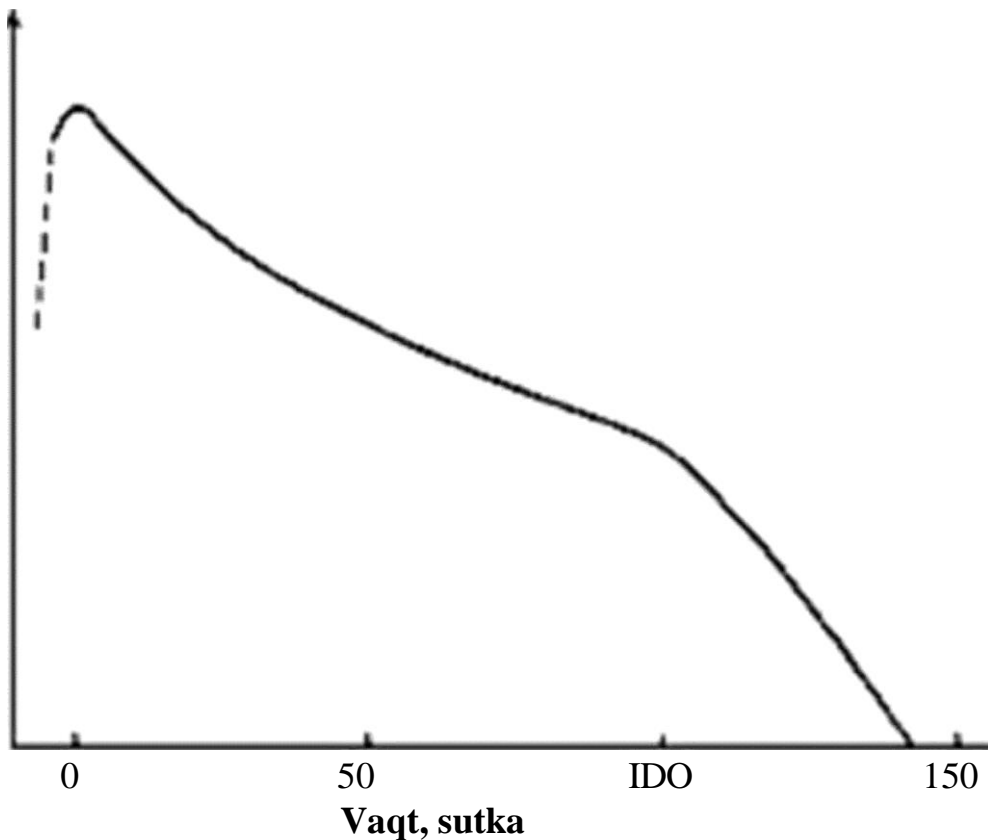
O'ta yangi yulduzlar deb shunday yulduzlarga aytildiki, ularning yorqinligi tasodifan birdaniga oshib keyinchalik sekinlik bilan kamayadi. O'ta yangi yulduz yulduzlar evolyutsiyasining barcha etapini o'tib, gravitatsion kollaps jarayoni natijasida hayot yo'lini tugaydi. O'ta yangi yulduz gravitatsion kollaps jarayonidan oldin ham keyin ham bir qism massasini yo'qotganligi sababli uning boshlang'ich massasi $8\text{-}10 M_\odot$ ga teng bo'lishi kerak. Odatda ikki xil yorqinlik chizig'i to'g'risida gapiriladi. Yorqinlik chizig'ini maksimumida o'ta yangi yulduz shuncha energiya nurlaydiki, bu energiya oddiy yulduzlardan tashkil topgan galaktika nurlanish energiyasidan ham katta bo'ladi. O'ta yangi yulduz portlashi natijasida chiqarilgan energiya $10^{51}\text{-}10^{54}$ ga teng bo'ladi.



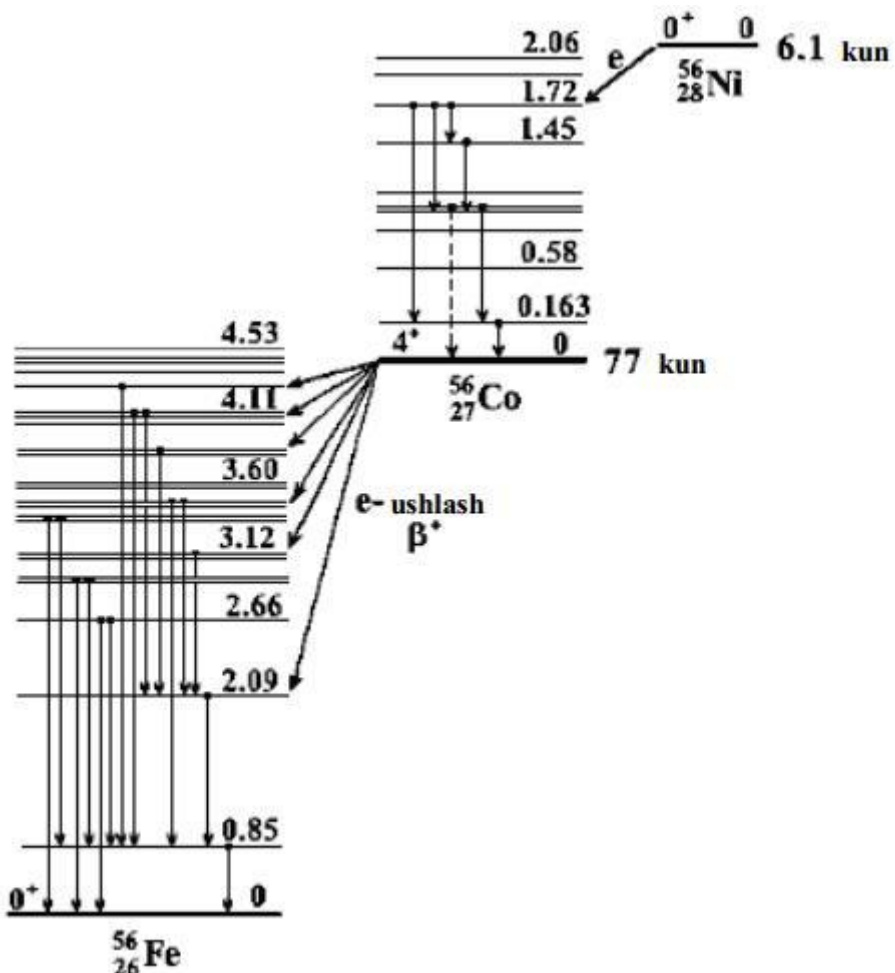
Rasm 6. 1 chi tipdagi o'ta yangi yulduz yorqinlik chizig'i

Qanday evolyutsiya etapida yulduz o'ta yangi yulduzga aylanadi. Yulduzlar evolyutsiyasida termoyadro reaksiyasi to'xtalib, yulduz markazida temir rayonidagi elementlardan tashkil topgan yadro hosil bo'lganda, o'ta yangi yulduz hosil bo'ladi. Temirdan tashkil topgan yulduz yadrosi hosil bo'lganda, yadroviy energiya manbai to'xtagandan keyin yadroni isishi to'xtaladi va gravitatsion kuch ta'sirida siqila boshlaydi. Yulduz yadrosida deyarli boshqacha yadroviy jarayonlar o'ta boshlaydi. Bunday jarayonlar ta'sirida yadroning "termirli" maksimumi rayoni yangi elementlar a-zarralar, neytronlar va protonlarga bo'linadi. Birinchi tipdagi o'ta yangi yulduzlarning yorqinlik chizig'i 6-chi rasmida ko'rsatilgan yorqinlik ~2 hafta mobaynida maksimumga erishib, 2 haftada tez kamayadi, keyinchalik yorqinlikni namoyishi eksponensial ravishda yuz beradi. Bunda 50 kun davomida yorqinlik taxminan 2 marotaba kamayadi.

O'ta yangi yulduzni chaqnashini sababi uglerodni yona boshlashi g'oyasi Fauler va Xayl tomonidan berilgan I-tipdagi o'ta yangi yulduzlar oq karlik tipidagi kompakt yulduzlardan hosil bo'ladi.

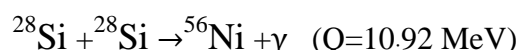
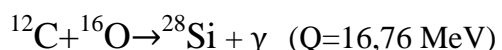


Rasm 7. II-chi tipdagi o'ta yangi yulduz yorqinlik chizig'i.



Rasm - 8. $m^{56}\text{Co} \rightarrow ^{56}\text{Fe}$ zanjirida β va γ o'tishlarining sxemasi.
Energetik sathlar ustida yadroning qo'zg'alish energiyasi MeV da
keltirilgan. Asosiy holatlar uchun spin va yarim emirilish davri
ko'rsatilgan.

Portlash sababi shundaki, keyinchalik o'ta yangi yulduzga aylanuvchi obyekt ikkilangan yulduzlarning biridir. Hozirgi zamон tasawurlariga ko'ra asosiy yulduz oq karlikning kuchli gravitatsiya maydoni ta'siri ostida muhitning yo'ldoshdan oq karlikka akretsiyasi vujudga keladi va natijada oq karlikning massasi oshadi. Shu biln birgalikda temperatura ham oshib, oq karlikda uglerod alanga oladi. Natijada oq karlik markazidan periferiyasiga tomon portlashli yonish to'lqini tarqaladi.



O'ta yangining obolochkasida kremniyni portlashni yonishi natijasida kollapslanuvchi yadro tashqarisida asosan radiaktiv bo'lgan ^{56}Ni hosil bo'ladi (^{56}Ni -ning yarim yemirilish davri 6,1 kunga teng). Keyinchalik e-ushlash qo'zg'algan holatda bo'lgan ^{56}Co yadrosini hosil qiladi. Bu yadro asosiy holatiga o'tib y kvant chiqarib 0,163 Mev energiya nurlaydi. Hosil bo'lgan y kvantlarni muhit bilan o'zaro ta'sir asosiy mexanizmi komton sochilishidir. Natijada tezlik bilan y kvantlarni energiyasi -100 Kevgacha kamayadi. Hosil bo'lgan γ kvantlar yulduz muhiti tomonidan fotoeffekt natijasida yutiladi, yutilish yulduz muhitini qizdiradi. Yulduz kengayishi bilan unda muhit zichligi kamayadi, fotonlarning to'qnashishlar soni kamayib, yulduz sirtini muhiti nurlanish uchun tiniq bo'ladi. Nazariy hisoblashlarni ko'rsatishicha, yulduz yorqinligini maksimumidan 20-30 sutkadan keyin y kvantlarning effektiv ta'siri soni 1 gacha kamayadi va γ kvantlar yulduzdan bemalol chiqadigan bo'ladi. Bu vaqt intervali yorqinlikni eksponensial kamayishga o'tish muddatiga to'g'ri keladi. Bunday katta vaqt mobaynida γ kvatlari manbai ^{56}Co ni (β yemirilish mahsuli bo'lgan ^{56}Fe hisoblanadi. ^{56}Fe 4,2 Mev energiyali uyg'ongan holatda paydo bo'ladi. Yorqinlikni chizig'i bunday modelni tasdiqlaydi. Yorqinlikni maksimumidan keyin yorqinlikni ^{56}Ni ($T_{1/2}=6,1$ kun) yemirilish xarakterli vaqt bilan va ^{56}Co ($T_{1/2}=77$ kun) yemirilish xarakterli vaqtini kamayishini tasdiqlaydi. Energiya ajralishini qo'shimcha manbai bo'lib ^{56}Co yadrosini pozitron chiqarishi hisoblanadi. Pozitronlar xuddi γ kvantlar singari yulduz muhitini qizdiradi. Shunday qilib o'ta yangi 1-tip yorqinlik chizig'i xususiyati $^{56}\text{Ni} \rightarrow ^{56}\text{Co} \rightarrow ^{56}\text{Fe}$ yemirilishlar xususiyatlari bilan aniqlanadi. γ -kvant ko'rinishida nurlanayotgan energiya 1-tip o'ta yangilarni barcha tur issiqlik nurlanishidan taxminan bitta tartibda kattadir. Koinotga tashlanayotgan massa $\sim M$ tengdir.

γ -kvantlarning spektrlarining analizi 1-tur o'ta yangilar dinamikasi borasida qo'shimcha ma'lumot berar edi, xususiy holda ^{56}Ni yemirilishidan hosil bo'luvchi γ -kvantlar portlanayotgan obolochka o'lchami to'g'risida va tashlanayotgan muhit tezligi to'g'risida ma'lumot beradi. ^{56}Co ning chiziqlarini kuzatilishi potrlash

dinamikasi to'g'risida ma'lumot beradi. ^{56}Ni va ^{56}Co -lardan hosil bo'lgan γ -kvantlar bir xil muhit qatlamidan o'tganliklari uchun ularning chiziqlarini intensivliklarini nisbati chaqnash vaqtini va portlashli sintez tamom bo'lish vaqtini baholash imkonini beradi. SN1987A o'ta yangidan γ kvantlar 1987 yil avgustda yerga yetib kelgan. Bunda spektrda ^{56}Co chiziqlari borligi ham aniqlangan. Shunday qilib ^{56}Co portlash natijasida hosil bo'lishi ko'rsatilgan (aks holda uning ko'pchilik qismi boshqa elementlarni hosil bo'lishi bilan bo'linar edi) chimki T_m ($^{56}\text{Co}=77$ kun). Bundan tashqari o'ta yangilarni portlashida yuqori temperatura va bosimda o'rta og'irlikdagi elementlar ham hosil bo'lish gipotezasi tasdiqlanadi. SN1987A o'ta yangida ^{56}Co dan y nurlanishni qayd qilish jarayonida ma'lum vaqt mobaynida intensivlikni oshishi kuzatilgan. Bu shuni ko'rsatadiki, o'ta yangini tashqi qobig'ini koinotda kengayishi bilan zichligi kamayib, y-kvant uchun tiniqligi oshganligi sababli, ko'proq kobalt kuzatish imkonini paydo bo'lган.

$^{56}\text{Ni} \rightarrow ^{56}\text{CO} \rightarrow ^{56}\text{Fe}$ jarayon natijasida ajratilgan energiya 1987 yili davomida SN1987A o'ta yangini yorqinligini ushlab turgan. Qayd etilgan kuchli y nurlanish bilan o'tuvchi $^{56}\text{Ni} \rightarrow ^{56}\text{CO} \rightarrow ^{56}\text{Fe}$ mexanizmi har qanday o'ta yangida bo'lishi kerak.

Π -tipdagi o'ta yangilar. Bunday o'ta yangilar yana massivroq yulduzlarda vujudga keladi (SN1987A o'ta yangi shu tipdagi o'ta yangidir). Pastda massasi 25 MeV bo'lган yulduzlarda 2 ta model uchun temir yadroси kolapsi hosil bo'lgancha nukleosintez jarayonini qamrab olgan nazariy hisoblashlar natijalari keltirilgan. Modellar bir-biridan yulduz muhitining birlamchi himoyaviy tarkibi bilan farq qiladi. Π -tip o'ta yangi evolyutsiyasi hisoblashlaridagi ximiyaviy tarkibi.

Z	Elementlar	A _{min}	A _{max}	Z	Elementlar	A _{min}	A _{max}
2	He	4	4	17	Cl	35	38
6	C	12	14	18	Ar	36	41
7	N	13	15	19	K	39	42
8	O	15	18	20	Ca	40	49
9	F	17	19	21	Se	43	49
10	Ne	20	23	22	Ti	44	51
11	Na	21	24	23	V	47	52
12	Mg	23	27	24	Cr	48	55
13	Al	26	28	25	Mn	51	56
14	Si	27	31	26	Fe	52	59
15	P	30	33	27	Co	55	60
16	S	31	37	28	Ni	56	65

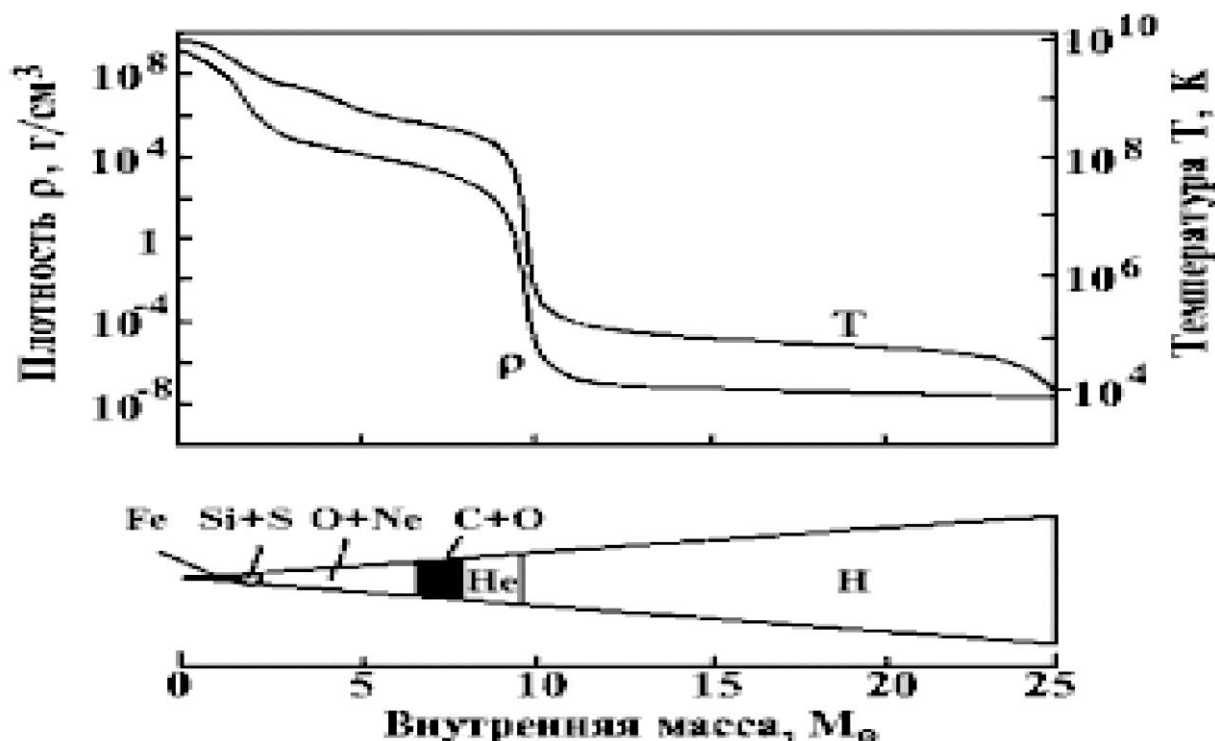
Model – I. Birlamchi ximiyaviy tarkib quyoshnikidek. Model-I birinchi tur yulduzlar naseleniyasini ifodalaydi. Bunday yulduzlar bizning galaktikamiz uchun xarakterlidir.

Model-II. Birlamchi tarkibda $Z \geq 3$ li elementlar 1% quyoshnikidek. Model-II yulduzlarni naseleniya II-chisini ifodalaydi. Bunday yulduzlar naseleniyasi bizning galaktikamizni evolyutsiyasini boshlang'ich etapida mavjud bo'lган.

EHM yordamida yulduzlarning asosiy ketma-ketlikda paydo bo'lishidan boshlab evolyutsiyasi ko'rib chiqilgan. Vodorod, uglerod, neon, kislorod, kremniyni yulduz yadrosi kollapsi vujudga kelgunga qadar yonishi ko'rib chiqilgan. Yulduz yadrosining kollapsi yulduzning temirli yadrosi yangi zarralarga bo'linishi natijasida vujudga keladi. Yulduzlarning xarakteristikalari kollapsi davrida har ikki model uchun ham jadvalda keltirilgan.

Model	Massa M	Radius, sm	Temperatura yuzasi, K	Fotonliyorqinligi, Erg/s
Model I	25	$6,49 \cdot 10^{13}$	4370	$1,09 \cdot 10^{39}$
Model I	25	$1,27 \cdot 10^{13}$	9790	$1,05 \cdot 10^{39}$

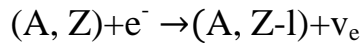
Kollaps davrida har ikki yulduz ham cho'zilgan obolochkaga ega bo'lган о'tа gigant xarakteristikaga ega bo'ladi, ikkinchi modelga ko'ra yulduzning yuzidagi temperatura yuqoriroq, radiusi kichikroq bo'ladi. Yulduzlarning ichidagi temperatura va zichlik har ikki yulduz uchun ham markazdan sirtiga qarab turlicha kamayib boradi. Mantida sekinroq sirtida tezroq kamayadi. Massiv yulduzlarning hayotining oxirida kollapsdan oldin $10M_0^{10}K$ gacha isigan zichligi $p \sim 10^8 - 10^{10}$ g/cm^3 bo'lган yadro hosil bo'ladi. Bu yadroning massasi elementlarning temirli cho'qisida $-1-2 M_0$ ga teng bo'lib, radiusi $\sim 10^7 - 10^8 sm$ bo'ladi. Birinchi va ikkinchi modellardagi yulduzlarning ximiyaviy tarkibining kengroq analizi natijalari 8-chi rasmda keltirilgandir. X-oq'da quyosh massasi birligida yulduz massasi keltirilgan bo'lsa, ordinatalarda zichlik va temperatura ko'rsatilgandir. Asosiy elementlar uchun har ikki holda ham taxminan bir xil taqsimlanish kelib chiqadi. Temirli yadro neytronlashtirilgan muhitda joylashgan bo'lib, kremniy, sera, kislород, neon, uglerod va geliydan tashkil topgan qobiq bilan o'ralgan bo'ladi. Bularning hammasi yana siyraklashgan vodorod qavati bilan o'ralgan bo'ladi.



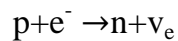
Rasm 9. Massiv yulduzning evolyutsiyasi oxirida gravitatsion kollapsdan oldin xarakterli tuzilishi.

Birinchi model holida yulduzning tashqi qobig'ini tarkibi neon, kislorod elementlari kabi elementlar bilan boyitilgandir. Yulduzning markazida kremniy yadrolarining o'zaro tegib temir yadrosi hosil qilish momentidan boshlab uning rivojlanishini kengroq ko'rib chiqamiz. Massiv yulduzni bunday holatga kelishigacha bir necha million yil kerak bo'lib, keyingi evolyutsiyasi tez o'tadi. Kremniy yonishi reaksiyasi taxminan bir sutkada otadi. Yulduz markazida kremniyli obolochka ichida temirli yadro vujudga keladi. Temirli yadro va kremniyli obolochka chegarasida va undan uzoqda elementlarning sintez jarayoni davom etib energiya ajralishi termoyadro jarayonlari hisobidan bo'ladi. Temir elementlari maksimumidan tashkil topgan markaziy qism qisilishda davom etadi. Lekin markazda allaqachon energiyaning yadroviy manbalari tamom bo'lgan bo'ladi, chunki markazda hosil bo'lgan yadrolar maksimal solishtirma bog'lanish Energiyasiga ega bo'ladi. Bundan markazda umuman yadro reaksiyalari bo'lmaydi degan xulosa chiqadimi? Albatta yo'q. Haqiqatda temperatura va shuning uchun o'zaro ta'sir etuvchi zarralar kinetik energiyasi shu darajaga yetadiki, unda nisbatan kuchsiz bog'langan yadrolar reaksiyalari davom etadi. Yadroviy reaksiyalarning xarakterida muhim sifatiy o'zgarish yuz beradi. Bu vaqtgacha energiya ajralishi sintez jarayoni hisobidan bo'layotgan bo'lsa, situatsiya butunlay o'zgaradi. Temirli yadroni nisbatan yengil fragmentlarga bo'linishi yuz beradi. $5 \cdot 10^9$ K temperaturalarda temir yadrolarini neytronlarga, protonlarga va geliy yadrosiga bo'linishi vujudga keladigan fotobo'linishi reaksiyasi muhim rol o'yнaydi. Bunday reaksiyalar energiya yutilishi bilan o'tuvchi reaksiyalardir. Temirli yadro hosil bo'lishi jarayonida ajratilgan energiya endi temirni vodorod, neytron, protonlarga bolinishi uchun yutiladi. Yana yangi yadro reaksiyalari kanallari ochiladi. Yemirilish natijasida hosil bo'lgan yengil zarralar, protonlar, neytronlar, X-zarralar orasida reaksiyalar o'ta boshlaydi va bu reaksiyalarda endi energiya yana yutiladi. Natijada yulduz markaziy qismi soviy boshlaydi. Bundan tashqari kuchsiz o'zaro ta'sir natijasida vujudga keladigan reaksiyalar ham bo'ladiki, natijada yulduz markaziy qismini temperaturasi yana pasayadi. Katta zichliklarda elektronlarni massasi shu darajada oshadiki, ularni ushslash natijasida

^{56}Fe - ^{56}Mn (3,7 Mev) va ^{56}Mn - ^{56}Cr (1,6 Mev) va boshqa izotoplarning massalarning farqi protonni neytron bilan almashtishi natijasida kompensatsiyalanadi. Shunday qilib muhit yadroси tomonidan elektronlarni ushlashi reaksiyasida



yulduz markaziy qismini neytronlar bilan boyishi vujudga keladi. Bu jarayonga muhitni neytronizatsiya jarayoni deyiladi. Tezlik bilan sovish jarayoni yulduzni yana siqilishi bilan davom etadi. Bunda kvazistatiklik muvozanatidan farqli gravitatsion energiya ajralishi temperaturani oshishiga olib kelmaydi. Bu etapda yulduz markazida bosim oshishi gravitatsiya kuchini kompletsiya qilishga yetmaydi. Yulduz muvozanatligini yo'qotadi va uning qobiqlari markaziga erkin tusha boshlaydi. Yulduz markaziga tushuvchi muhit kinetik energiyasi uning tashqi obolochkalarini tez yonishiga olib keladi. $10^9 \cdot 10^{10}$ K temperaturada tashqi onadagi kislород bir necha minutda yonadi. Agar yulduz yetarlicha massiv bo'lsa va uning tashqi qobig'idagi kislородning massasi quyosh massasiga teng bo'lsa, u holda bir necha minutda ajralgan energiya miqdori quyoshni bir necha milliard yilda ajratadigan energiyasiga teng bo'ladi. Massiv yulduzning evolyutsiyasini oxirgi etapidagi siqilishi odatda nihoyat darajada tez vujudga keladi. Bir necha sekund davomida markaziy qism zichligi $10^{14} \div 10^{15}$ gr/sm³ dan oshishi mumkin, temperatura $10^{11} \div 11^{12}$ K dan ham oshadi. Bunday sharoitlarda protonlarni neytronlarga neytronlarni ajratish bilan o'tuvchi reaksiyasi amalga oshadi.



Neytronli yorqinlik juda katta 10^{53} Erg/s bo'ladi. Hosil bo'lган neytrinolar portlash natijasida hosil bo'lган energiya olib ketib zichligi $p \sim 10^{14} \div 10^{15}$ gr/sm³ bo'lган neytronli yulduzni qoldirib ketadi. Neytronli yadroni hosil bo'lishi bilan yulduz markazini qisilishi keskin to'xtaydi, natijada qaytgan zarbali to'lqinlar hosil bo'ladi. Bunday zarbali to'lqinlar xususiyatlari hali oxirigacha o'rganmagan bo'lib aniqlanishicha o'ta yuqori energiyali kosmik zarralarni tezlashishi zarbali to'lqinlar ta'siri ostida o'tadi. Yuqorida qayd etilgan o'ta yangi yulduz portlashini tasdiqlovchi fakt koinotdan kelayotgan neytrinoli impulslarni qayd qilish

hisoblanadi. SN1987A o'ta yangi portlash davrida bunday neytrinoli impuls qayd etilgan. Bundan tashqari yulduz muhitining $M < 2,3 M_\odot$ oblastli qismida portlash momentida temperatura shunchaga oshadiki, portlashli nukleosintez jarayoni hosil bo'lishida sharoit yaratiladi, natijada bir necha minut davomida bu oblastda yulduz ximiyaviy tarkibini yangi taqsimlanishi vujudga keladi. Yulduz qolgan qismini massasi ($M > 2,3 M_\odot$) ximiyaviy tarkibi o'zgarishsiz koinotga uloqtiriladi. O'ta yangilarni massa yo'qotish mexanizmi yulduzlarni evolyutsiyasi davomida hosil bo'lган elementlarni yulduzlararo fazoga tashlashida muhim rol o'ynaydi. Agar portlashdan keyin yulduz massasining ko'p qismi o'zida saqlangan bo'lsa, uning yengil elementlardan asosan vodorod va geliydan tashkil topgan tashqi qobig'i fazoga tarqatgan bo'ladi. Bundan tashqari portlashning kichik interval vaqt mobaynida portlashli nukleosintez jarayonida hosil bo'lган elementlar ham koinotga tashlangan bo'ladi. Yulduzning ichki qatlamlari nisbatan tinch jarayon termodinamik muvozanat jarayonida hosil qilingan elementlariga tegizilmaydi. Yulduzning ko'proq massasi tashlangan bo'lsa, tashlangan muhit elementlari termodinamik jarayonlar sharoitida hosil bo'lган elementlarni nisbiy ulushini ifodalaydi, bunday elementlar o'ta yangi portlashi yuz bergan vaqtgacha hosil bo'lган bo'lishi mumkin.

Hozirgi vaqtgacha qaysi model o'rini ekanligini oxirigacha ko'rsatuvchi dalillar yo'q. O'ta yangi II portlashi mexanizmi hali yana topshirilishi lozim.

Yulduzlarning evolyutsiyasining oxirgi stadiyasi yulduzlar massasiga bog'liq bo'ladi. Allaqaqachon qayd etildiki, massiv yulduzlar, ularning markazi ketma-ket sintezning yuqorida qayd etilgan barcha reaksiyalari vujudga kelib, markazida temir yadrolari guruhibiga kiruvchi elementlardan tashkil topgan yulduz yadrosi hosil bo'ladi. Bunday obyekt keyinchalik portlab tashqi qobig'ini fazoga uloqtiradi markazida esa neytron yulduzi yoki qora tuynuk hosil bo'ladi.

Agar yulduz hayotini oxirida o'ta yangi portlash yuz berishiga yetadigan massaga ega bo'lmasa, u yadro reaksiyalari tugagandan keyin asta sekinlik bilan

soviydi. Massasiga bog'liq ravishda bunday yulduz sovigandan keyin yoki oq karlik yoki neytron yulduziga aylanishi mumkin.

§2.5 Neytronlar ta'siri ostida o'tuvchi jarayonlar, r-jarayon

Hozirgi vaqtda tan olinishicha temir yadrosidan og'ir yadrolar (^{209}Bi yadrosidan ham og'ir yadrolarni qo'shib olganda) protonlarni ketma-ket tez ushlab olish r-jarayon natijasida hosil bo'ladi. Asosiy shart shundan iboratki, neytronlarni ushslash tezligi P-yemirilish tezligidan katta bo'lishi kerak. Neytronlarni ushslashni asosiy mexanizmi (n, γ)-reaksiyadir. Neytronlarni ushslash jarayoni tezligi izotopning yemirilish tezligidan kichik bo'lguncha davom etadi. Hosil bo'lgan yadro (3-yemirilish natijasida bo'linadi va keyin yana ketma-ket neytronlarni ushslash jarayoni amalga oshadi. Haqiqatdan ham og'ir yadrolarni r-jarayon natijasida bo'lishini tasdiqlovchi dalil bo'lib, yadrolarni turli jarayonlarda hosil bo'lishini ifodalovchi chiziqda yulduzlarda ikkilangan maksimumlarni magik neytronlar soni $N=50, 82, 126$ bilan korreksiyalanishidir. Biz qayd etgan edikki, $A=90, 138$ va 208 ga to'g'ri keluvchi maksimumlar s-jarayonda hosil bo'luvchi yadrolarni bildirsa, kichik $A=80, 130$ va 195 ga mos keluvchi maksimumlar r-jarayonda hosil bo'luvchi yadrolarni bildiradi. Agar kerakli neytronlar konsentratsiyasi kamaysa yoki hosil bo'lgan yadrolar ketma-ketligida a-yemirilish yoki bo'linadigan yadrolar hosil bo'lsa r-jarayon tugallanadi.

Hisoblanadiki r-jarayon o'tishi uchun zarar bo'lgan kerakli neytronlar konsentratsiyasi o'ta yangi portlashlarda hosil bo'ladi. r-jarayon uchun kerak bo'ladigan neytronlar zichligini p_n -ni baholaymiz. Agar r-jarayon davomida n -ta neytron ushlangan bo'lsa, β -yemirishi hosil bo'lguncha neytronlar konsentratsiyasi quyidagi shartdan aniqlanadi

$$\tau_\beta \approx n \tau(n\gamma)$$

Bunda τ_β β -yemirilishni o'rtacha vaqt bo'lsa, $\tau(n\gamma)$ reaksiyada neytronlarni ushslash vaqt. O'z navbatida

$$\tau(n\gamma) \approx \frac{1}{p_n(\delta_{n\gamma} v_n)}$$

Bunda $(\delta_{n\gamma} v_n)$ (n) reaksiya kesimini neytroni nishon yadrosiga nisbatan tezligi ko'paytmasi bo'lib, ko'paytma Maksvel tezliklar bo'yicha taqsimlanishi spektriga ko'ra o'rtalashtirilgan.

$$(\delta_{n\gamma} v_n) \approx \delta_T v_T$$

Bu erda $\delta_T (\approx 100 \text{ barn})$ va v_T neytronlarning kesimi va zichligi bo'lib bu xarakteristikalar $3/2$ kt energiyaga mos keladi.

$\tau(n\gamma)$ uchun quyidagini topamiz

$$\tau(n, \gamma) \approx \frac{\sqrt{m_n}}{p_n \delta_T \sqrt{3} K T} = \frac{2 \cdot 10^{16}}{p_n T^{\frac{1}{2}}}$$

Bunda $\tau(n\gamma)$ sekundlarda ifodalangan bo'lsa, 10^9 k birligida, $p_n \text{ sm}^{-13}$ birligida ifodalangandir. P_n -ning oxirgi ifodasi quyidagicha

$$\rho_n \approx \frac{2 \cdot 10^{16} n}{T^{\frac{1}{2}} \tau_\beta}$$

r-jarayon chizig'i bo'ylab β -yemirilishning xarakterli vaqt τ_β , $n=10$ va $T=10^9 \text{ K}$ bo'lib, quyidagini topamiz

$$p_n \approx 2 \cdot 10^{17} \text{ neytron/sm}^3$$

Endi r-jarayon kechadigan turli astrofiz shartlarni ko'rib chiqamiz.

- O'ta yangini portlashda hosil bo'lган zarbali to'lqinlar gelyili va nionli qatlamlardan o'ta turib ^{22}Ne (a, n) ^{25}Mn reaksiyalarini hosil qiladi.
- O'ta yangi portlash stadiyasida massiv yulduzning markaziy qismida r-jarayon natijasida og'ir elementlarni hosil bo'lish mexanizmini bilish muhimdir.

Yulduzning markaziy qismi juda ko'p neytronlar va a-zarralarga ega, bunday zarralar temirni fotobo'linish $^{56}\text{Fe} \rightarrow 13\alpha + 4n$ reaksiyasida yulduz evolyutsiyasi oxirgi stadiyasida vujudga keladi. Markazda muhit zichligi, yadro muhiti zichligiga teng bo'lganligi sababli ko'pzarrali α va nuklonlarni bir-biriga yopishish yadro reaksiyalari muhim rol o'ynaydi

$$\alpha + \alpha + \alpha$$

$$\alpha + \alpha + \alpha + n$$

$$\alpha + \alpha + \alpha + p$$

bunda osonghina nostabil yadro A=5 va 8 oblasti o'tiladi. Bunday ko'pzarrali yadro reaksiyalari yuqori zichlik sharoitida o'tayotganligi uchun temir cho'qqisi yaqinidagi yadrolar hosil bo'lib, ularda r-jarayon o'tadi. Ko'rsatilgan ediki bitta jarayon yordamida yetarlicha yaxshi r-jarayonda hosil bo'luvchi har uchta cho'qqini kuzatish mumkin. R-jarayonning detalli hisoblashlarida nafaqat temir cho'qqisida hosil bo'luvchi yadrolar, balki r-protsesda bo'linish natijasida hosil bo'lgan yadrolardan ham foydalaniladi.

Haqiqatdan ham r-jarayon natijasida og'ir yadrolarni hosil bo'lishini tasdiqllovchi fakt sifatida tabiatda faqatgina r-jarayon hisobida hosil bo'luvchi yadrolar ^{100}Mo , ^{96}Zr , ^{76}Ge va boshqalar borligini ko'rsatish kerak. Bu izotoplarning s-jarayonda hosil bo'lishi izotoplarni yarim yemirilish davrini kichikligi bilan ekranlashtirilgan.

III BOB. To'g'ri radiatsion qamrab olish reaksiyasi.

3.1 To'g'ri radiatsion qamrab olish reaksiyasi.

Potensial modellar kirish va chiqish kanallarida lokal potensial bilan ifodalanadigan Shredinger tenglamasi yordamida yadro jarayonlarining dinamikasining tavsiflanishiga asoslangandir. Bunday modellar elastic sochilish uchun optic model, bir zarrali uzatish uchun buzilgan to'lqin born yaqinlashish (DWBA) va to'g'ri radiatsion qamrab olish uchun to'g'ri qamrab olish modellaridir.

Potensial modelning eng asosiy ingridiyentlari kirish va chiqish kanallaridagi sochilsh va bog'langan holatlari uchun to'lqin funksiyalaridir. Hisoblashlarda potensialni aniqlashda I bobda keng yoririlgan ikkilangan folding model potensialidan foydalanish fenomenologik potensialga (masalan Saxon-Woods potensiali) qarganda ochiq parametrлarni kamaytiradi.

[16] ga asosan to'g'ri radiatsion qamrab olishning ko'ndalang kesimi quyidagicha aniqlanadi.

$$\begin{aligned}\sigma^{\text{DC}} &= \int d\Omega \frac{d\sigma^{\text{DC}}}{d\Omega} \\ &= \int d\Omega 2 \left(\frac{e^2}{\hbar c} \right) \left(\frac{\mu c^2}{\hbar c} \right) \left(\frac{k_\gamma}{k_a} \right)^3 \frac{1}{2I_A + 1} \frac{1}{2s_a + 1} \\ &\times \sum_{M_A M_a M_B \sigma} |T_{M_A M_a M_B, \sigma}|^2\end{aligned}$$

I_A , I_B va S_A (M_A, M_B va M_a) kattaliklar nishon yadro A va qoldiq yadro B va a snaryadlarning mos ravishda spinlaridir (magnit kvant sonlaridir). Kirish kanalidagi keltirilgan massa μ orqali berilgan. Elektoromagnit nurlanish polyarizatsiyasi $\sigma = \pm 1$ qiymatlarni qabul qiladi. k_a va k_γ mos ravishda kirish kanali va chiqarilgan nurlanish uchun to'lqin sonidir. M1 magnit dipole o'tish, E2 kavdrupol o'tish va E1 elektr dipole o'tishni o'z ichiga olgan o'tish matritsasi $T_{M_A M_a M_B, \sigma}$ ning multipol yoyilishi quyidagicha beriladi.

$$T_{M_A M_a M_B, \sigma} = T_{M_A M_a M_B, \sigma}^{E1} d_{\delta\sigma}^1(\theta) + T_{M_A M_a M_B, \sigma}^{E2} d_{\delta\sigma}^1(\theta) + T_{M_A M_a M_B, \sigma}^{M1} d_{\delta\sigma}^1(\theta)$$

Aylanish matritsasi k_a va k_γ vektorlar orasidagi θ burchakka bog'liqdir. Bu yerda $\delta = M_A + M_a - M_B$ ga tengdir.

$$C(E1) = i\mu \left(\frac{Z_a}{m_a} - \frac{Z_A}{m_A} \right),$$

$$C(E2) = \frac{k_\gamma}{\sqrt{12}} \mu^2 \left(\frac{Z_a}{m_a^2} + \frac{Z_A}{m_A^2} \right)$$

Yuqoridagi (11) (12) ifodalarning aniqlanishlaridan foydalanib elektr dipole E1 yoki kvadrupol E2 uchun o'tish matritsalari quyidagicha ifodalanadi.

$$T_{M_A M_a M_B, \sigma}^{E\lambda} = \sum_{l_a j_a} i^{l_a} (l_a 0 S_a M_a | j_a M_a) C(E\lambda) \hat{l}_a \hat{l}_b \\ \times (2j_b + 1) (l_b 0 \lambda 0 | l_a 0) W(\lambda l_b j_a S_a; l_a j_b) I_{l_b j_b I_B; l_a j_a}^{E\lambda};$$

Yuqoridagi ifodalarda Z_a, Z_A va m_a, m_A lar mos ravishda a snaryad va A nishon yadroning zaryadi va massa sonlaridir. Kirish kanalidagi kanal spinii va uzatilgan burchak momenti mos ravishda j_a va j_b orqali berilgan. Dipole M1 o'tish uchun biz quyidagi ifodani olamiz.

$$T_{M_A M_a M_B, \sigma}^{M\lambda} = \sum_{l_a j_a} i^{l_a} \sigma \{ (l_a 0 S_a M_a | j_a M_a) (j_b M_B - M_A I_A M_A | I_B M_B) (\lambda \delta j_b M_B - M_A | j_a M_a) \\ \times \left[\mu \left(\frac{Z_a}{m_a^2} + \frac{Z_A}{m_A^2} \right) \hat{l}_b (2j_b + 1) \sqrt{l_a(l_a + 1)} W(1 l_a j_a S_a; l_a j_b) + \right. \right. \\ \left. \left. + 2\mu_a (-1)^{j_b - j_a} \hat{S}_a (2j_b + 1) \sqrt{S_a(S_a + 1)} W(1 S_a j_a l_a; S_a j_b) \right] - \right. \\ \left. - (l_a 0 S_a M_a | j_a M_a) (j_a M_a I_a M_B - M_a | I_B M_B) (I_A M_B - M_a 1 \delta | I_A M_A) \right. \\ \left. \times \mu_A \delta_{j_a j_b} \sqrt{\frac{I_A + 1}{I_A}} \left\{ \frac{\hbar c}{2m_p c^2} \right\} \delta_{l_a l_b} \hat{l}_a I_{l_b j_b I_B; l_a j_a}^{M1} \right];$$

Bu yerda W Raka koeffitsiyentidir, μ_i esa magnit momentdir va m_p proton massasidir.

Yuqoridagi ifodalardagi berkitish integrali elektr dipole E1 va kvadrupol E2 o'tish uchun quyidagicha beriladi.

$$I_{l_b j_b I_B; l_a j_a}^{E\lambda} = \int dr u_{NLJ}(r) O^{E\lambda}(r) \chi_{l_a j_a}(r)$$

Magnit dipole M1 o'tish uchun:

$$I_{l_b j_b I_B; l_a j_a}^{M1} = \int dr u_{NLJ}(r) O^{M1}(r) \chi_{l_a j_a}(r)$$

$u_{NLJ}(r)$ va $\chi_{l_a j_a}(r)$ radial funksiyalar mos ravishda chiqish kanalidagi bog'langan holat to'lqin funksiyasining radial qismi va kirish kanalidagi sochilish to'lqin funksiyasining radial qismlaridir. Elektromagnit multipol operatorlarning radial qismlari quyidagi formulalar bilan ifodalanadi .

$$O^{M1}(r) = \frac{1}{2\rho} [sin\rho + \rho cos\rho]$$

$$O^{E1}(r) = \frac{3}{\rho^3} [(\rho^2 - 2)sin\rho + 2\rho cos\rho]r$$

$$O^{E2}(r) = \frac{15}{\rho^5} [(5\rho^2 - 12)sin\rho + (12 - \rho^2)\rho cos\rho]r^2$$

Uzun to'lqinuzunlikli yaqinlashishda $\rho = k_\gamma r \ll 1$ bo'lganligi sababli quyidagi ifoda hosil bo'ladi.

$$O^{M1}(r) \approx 1$$

$$O^{E1}(r) \approx r$$

$$O^{E2}(r) \approx r^2$$

2.2. Periferiyali $A(a, \gamma)B$ radiatsion qamrab olish reaksiyasi uchun modifikatsiya qilingan ikki jismli potensial metod

Uzun to'lqinuzunlikli yaqinlashishda ikki jismli potensial metod yardamida hisoblanadigan reaksiyaning matritsa elementi quyidagicha ifodalanadi.

$$M = \langle I_{Aa}(\vec{r}) | O(\vec{r}) | \psi_{\vec{k}}(\vec{r}) \rangle$$

Bu yerda $I_{Aa}(\vec{r})$ A, a, va B yadrolarning mos ravishda ψ_A , ψ_a va ψ_B tbog'langan holat to'lqin funksiyalarining berkitish funksiyasidir. $\psi_{\vec{k}}(\vec{r})$ a va A zarralarning boshlang'ich holatdagi nisbiy harakatining to'lqin funksiyasidir. $O(\vec{r})$ elektromagnit o'tish operatori va \vec{r} a va A zarralarning massa markazlarini

tutashtiruvchi radius vektordir. Berkitish funksiyasi $I_{Aa}(\vec{r})$ ga asosan quyidagicha ifodalanadi.

$$I_{Aa}(\vec{r}) = N_{Aa}^{1/2} \langle \psi_A(\xi_A) \psi_a(\xi_a) | \psi_B(\xi_A, \xi_a, \vec{r}) \rangle \\ = \sum_{l_B \mu_B j_B \nu_B} C_{j_B \nu_B J_A M_A}^{J_B M_B} C_{l_B \mu_B J_a M_a}^{j_B \nu_B} i^{l_B} Y_{l_B \mu_B}(\hat{\mathbf{r}}) I_{Aa; l_B j_B}(r)$$

Bu yerda $J_j(M_j)$ j zarraning spini(proeksiyasini) bildiradi. $\hat{\mathbf{r}} = \frac{\vec{r}}{r}$, j_B va ν_B (l_B va μ_B) mos ravishda $B \rightarrow (A + a)$ yadrodag'i a zarraning to'liq burchak moment va proeksiyasidir (orbital moment va uning proeksiyasi). $I_{Aa; l_B j_B}(r)$ radial berkitish funksiyasi bo'lib birga normallashmagandir. $C_{b\beta c\gamma}^{aa}$ Klebsh Gordan koeffitsiyenti va N_{Aa} nuklonlarning bir xillagini hisobga oluvchi faktordir. Spektraskopik factor $Z_{Aa; l_B j_B}$ [15] ga asosan quyidagi formula orqali aniqlanadi.

$$Z_{Aa; l_B j_B} = \int_0^\infty I_{Aa; l_B j_B}^2(r) r^2 dr$$

Yadro ta'sirlashuv soxasi $r > r_N$ dan tashqarida $I_{Aa; l_B j_B}(r)$ funksianing asimptotik ko'rinishi quyidagi munosabat orqali beriladi.

$$I_{Aa; l_B j_B}(r) \approx C_{Aa; l_B j_B} \frac{W_{-\eta_B; l_B + 1/2}(2k_{Aa}r)}{r}$$

Bu yerda $W_{\alpha; \beta}(r)$ Uittiker funksiyasidir, $\eta_{Aa} = \frac{Z_A Z_a e^2 \mu_{Aa}}{k_{Aa}}$ esa $B \rightarrow (A + a)$ bog'langan holat uchun Kulon parametridir. $k_{Aa} = \sqrt{2\mu_{Aa}\varepsilon_{Aa}}$, bu yerda ε_{Aa} esa (A+a) kanaldagi B yadroning bog'lanish energiyasidir, r_N ($A + a$) bo'langan holatdagi A va a zarralar orasidagi yadro ta'sirlashuv radiusidir.

Standart ikki jismlipotensial model hisoblashlarida noma'lum radial berkitish funksiyasi $I_{Aa; l_B j_B}(r)$ quyidagi model funksiyasiga yaqinlashtiriladi.

$$I_{Aa; l_B j_B}(r) \approx Z_{aA; l_B j_B}^{\frac{1}{2}} \varphi_{nl_B j_B}(r)$$

Bu yerda $\varphi_{nl_B j_B}(r)$ funksiya Woods-Saxon fenomenologik potensial bilan berilgan radial Shredinger tenglamasini qanoatlantiradigan $B \rightarrow (A + a)$ bog'langan holatning bir zarrali to'lqin funksiyasidir va uning $r > r_N$ da asimptotik ko'rinishi quyidagichadir.

$$\varphi_{nl_B j_B}(r) \approx b_{aA; l_B j_B} \frac{W_{-\eta_B; l_B + 1/2}(2k_{Aa} r_{Aa})}{r}$$

Bu yerda $b_{aA; l_B j_B}$ yuqorida aytilgandek bir zarrali asimptotik normirovka koeffitsiyentidir (ANK) va n $\varphi_{nl_B j_B}(r)$ bog'langan holat to'lqin funksiyasining uzellar sonidir. Yuqorida eslatib o'tilgandek bir zarrali asimptotik normirovka koeffitsiyenti (ANK) Woods-Saxon potensialining geometric parametrlarining (r_0 va a) funsiyasidir. (4) ifodaga asosan $A(a, \gamma)B$ radiatsion qamrab olish reaksiyasi uchun astrofizik S(E) factor quyidagi ko'rinishda bo'ladi.

$$S_{aA}(E) = \left(\sum_{j_B} C_{aA; l_B j_B}^2 \right) R_{l_B}(E, b_{aA; l_B j_B})$$

$$R_{l_B}(E, b_{l_B j_B}) = \frac{\tilde{S}_{l_B j_B}(E)}{b_{aA; l_B j_B}^2}$$

$\tilde{S}_{l_B j_B}(E) = \sum_I \tilde{S}_{l_B j_B I}(E)$ bir zarrali astrofizik S faktordir va uning EI ,M1 o'tish uchun formula yuqoridagi ifoda yordamida aniqlanadi. Bu yerda I elektormagnit o'tishning multipol tartibidir. ANK $C_{aA; l_B j_B}^2$ va erkin parameter $b_{aA; l_B j_B}$ noma'lumdir.

Shu maqsadda quyidagi qo'shimcha talablar bajarilishi kerak.

$$R_{l_B}(E, b_{aA; l_B j_B}) = f(E)$$

$$C_{aA}^2 = \frac{S_{aA}(E)}{R_{l_B}(E, b_{aA; l_B j_B})} = const$$

$$C_{aA}^2 = \sum_{j_B} C_{aA; l_B j_B}^2$$

$$(C_{aA}^{exp})^2 = \frac{S_{aA}^{exp}(E)}{R_{l_B}(E, b_{aA; l_B j_B})}$$

2.3. $t + \alpha \rightarrow {}^7Li + \gamma$ (0 MeV) va $t + \alpha \rightarrow {}^7Li + \gamma$ (0.458 MeV) to'g'ri radiatsion qamrab olish reaksiyasi

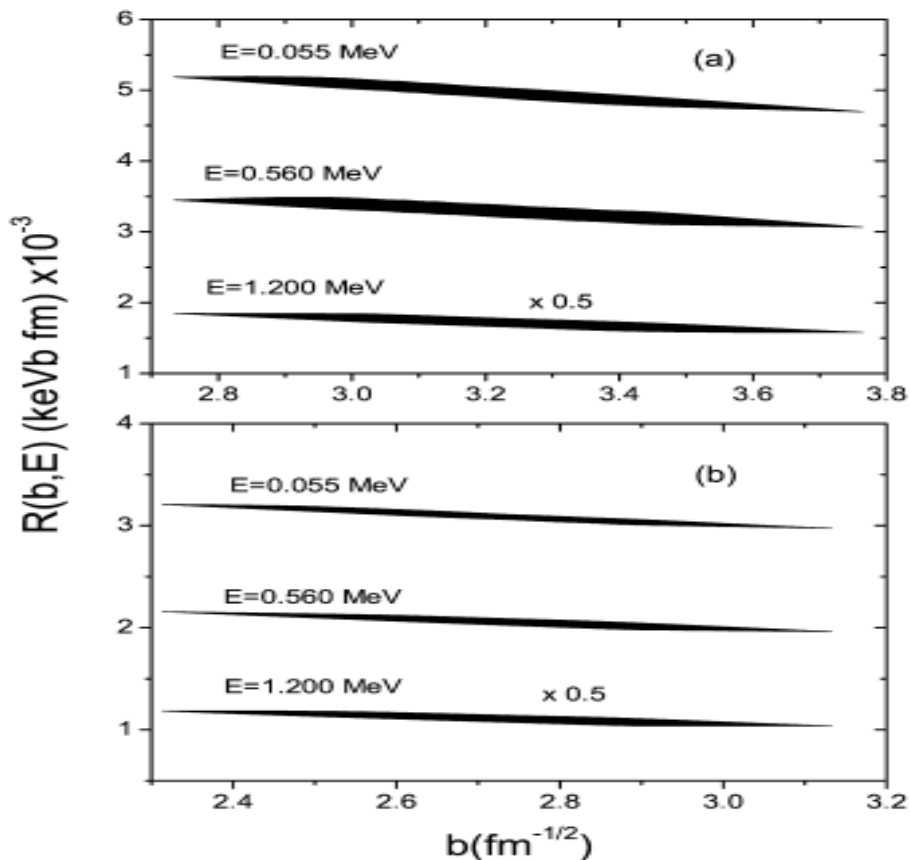
Bu yerda juda kichik energiyalarda mofkatsiya qilingan ikki zarrali potensial metodi yordamida $t + \alpha \rightarrow {}^7Li + \gamma$ (0 MeV) va $t + \alpha \rightarrow {}^7Li + \gamma$ (0.458 MeV)

to'g'ri radiatsion qamrab olish reaksiyasi uchun astrofizik S-faktorni analiz natijalari keltirilgan. Bu metod $^3Li \rightarrow t + \alpha$ virtual bo'linish uchun astrofizik S-faktorning eksperimental qiymatlari analiz qilish orqali asimptotik normirovka koeffitsiyentining qiymatini juda katta aniqlikda hisoblash imkonini beradi.

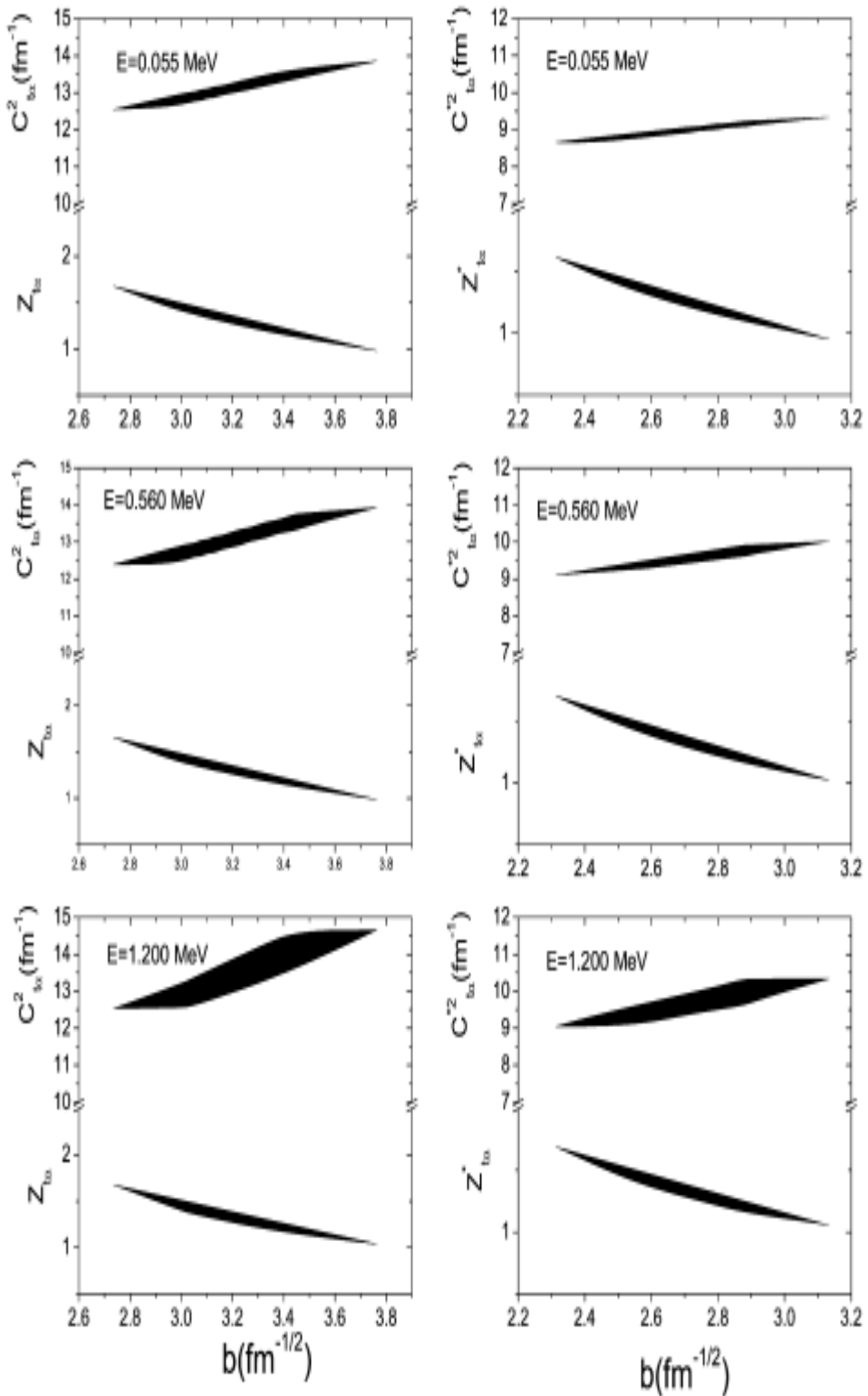
Avval $t + \alpha \rightarrow ^7Li + \gamma$ (0 MeV) reaksiyani qarab chiqamiz. ANK ning qiymatini toppish uchun biz [17] ishdagi $55 \leq E \leq 1189 \text{ keV}$ energiya intervalida o'lchangan eksperimental astrofizik S-faktor ma'lumotlarini taxlil qildik. Analiz Vuds-Sakson potensialining parametrlarini ($r_0 = 1.62$ dan 1.98 gacha $a=0.63$ dan 0.77 gacha, $b = 2.73 \div 2.011 \text{ fm}^{-1/2}$) keng oraliqda variatsiya qilish orqali bajarildi. 10-rasm va 11-rasmlarda $E=0.055 \text{ MeV}$, $E=0.560 \text{ MeV}$ va $E=1.200 \text{ MeV}$ enrgiyalarda $t + \alpha \rightarrow ^7Li + \gamma$ (0 MeV) reaksiya uchun $R(E, b)$ funksiya, asimptotik normirovka koeffitsiyenti C_{at}^2 (yuqori polosa) va spektraskopik factor Z_{at} ning (pastki polosa) bir zarrali asimptotik normirovka koeffitsiyenti b ga bog'liqligi ko'rsatilgan. 12-rasmda Vuds-Sakson potensialining parametrlarini ($r_0 = 1.62$ dan 1.98 gacha $a=0.63$ dan 0.77 gacha) keng oraliqda variatsiya qilish orqali S va P parsial to'lqinlar uchun d-p elastic sochilish fazaviy siljishining energiyaga bog'liqligi eksperiment bilan solishtirilgan. 13-rasmda $^7Li \rightarrow t + \alpha$ virtual bo'linishning xamma eksperimental nuqtalari uchun eksperimental astrofizik S-faktorni analiz qilish orqali olingan bizning asimptotik normirovka koeffitsiyentining qiymatlari ko'rsatilgan. Bu ANK larning o'rtacha qiymatlari 4-jadvalda berilgan. $t(\alpha, \gamma)^7Li$ reaksiya uchun r_0 va a parametrlarning standart qiymatlari uchun xisoblangan bizning astrofizik S factor. Natijalar olingan eksperimental ma'lumotlar bilan solishtirilgan. Astrofizik S-faktorning xatoligini xisoblashda $R(E, b)$ funksiya va asimptotik normirovka koeffitsiyentining xatoliklari xisobga olingan.

Bundan tahqari bu bitiruv malakaviy ishida $t + \alpha \rightarrow ^7Li + \gamma$ (0.458 MeV) to'g'ri radiatsion qamrab olish reaksiyasi uchun $E \geq 0.2 \text{ keV}$ enrgiyalarda 7Li ning birinchi uyg'ongan holatlaridagi eksperimental astrofizik S-faktor xam xuddi yuqoridagi reaksiya kabi analiz qilingan. 15-rasmda ko'rsatilganidek ko'plab

eksperimental asimptotik normirovka koeffitsiyentidan topilgan biz tomonimizdan tavsiya qilinayotgan ANK ning o'rtacha qiymatlari $(C_{at}^{eksp})^2 = 12.74 \pm 1.10 \text{ fm}^{-1}$ va $(C_{at}^{*eksp})^2 = 9.0 \pm 0.9 \text{ fm}^{-1}$ ga tengdir, xamda ularga mos keluvchi yadro cho'qqi koeffitsiyenti $|G_{at}|^2 = 0.60 \pm 0.05 \text{ fm}$ va $|G_{at}^*|^2 = 0.42 \pm 0.04 \text{ fm}$ larga tengdir. Topilgan asimptotik normirovka qiymatlaridan foydalanib $E \leq 200 \text{ keV}$ energiya soxasida $t + \alpha \rightarrow {}^7\text{Li} + \gamma$ (0 MeV) va $t + \alpha \rightarrow {}^7\text{Li} + \gamma$ (0.458 MeV) reaksiyaning astrofizik S-faktorning ekstrapolyatsiyasi uchun foydalanildi. Ekstrapolyatsiya natijalari 16-rasmda ko'rsatilgan (oq dumaloq nuqtalar)



10-rasm. $E=0.055 \text{ MeV}$, $E=0.560 \text{ MeV}$ va $E=1.200 \text{ MeV}$ enrgiyalarda (a) $t + \alpha \rightarrow {}^7\text{Li} + \gamma$ (0 MeV) va (b) $t + \alpha \rightarrow {}^7\text{Li} + \gamma$ (0.458 MeV) reaksiya uchun $R(E, b)$ funksiyaning bir zarrali asimptotik normirovka koeffitsiyenti b ga bog'liqligi.

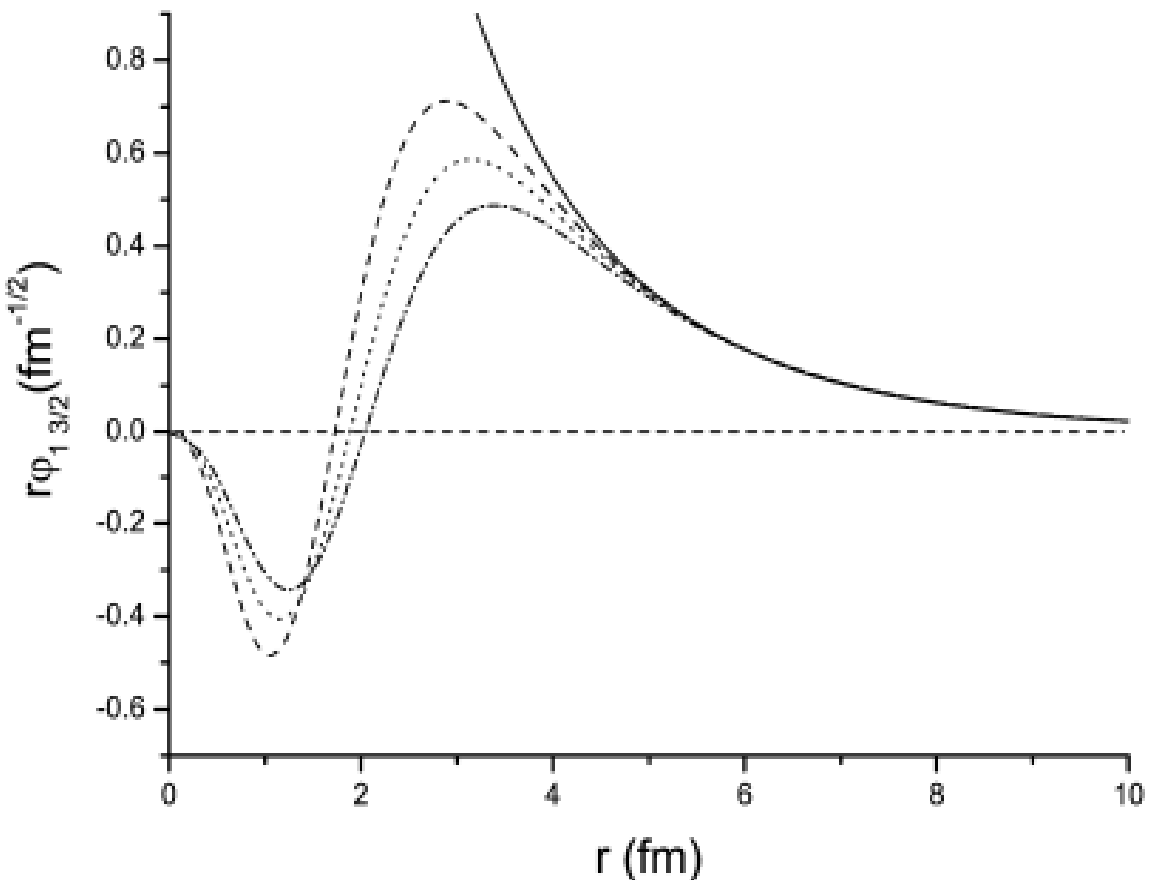


11-rasm. $E=0.055 \text{ MeV}$, $E=0.560$ va $E=1.200 \text{ MeV}$ energiyalarda o'ng tomonda $t + \alpha \rightarrow {}^7Li + \gamma$ (0 MeV) va chap tomonda $t + \alpha \rightarrow {}^7Li + \gamma$ (0.458 MeV) reaksiya uchun asimptotik normirovka koeffitsiyenti $C_{\alpha t}^2$ (yuqori polosa) va spektraskopik factor $Z_{\alpha t}$ ning (pastki polosa) bir zarrali asimptotik normirovka koeffitsiyenti b ga bog'liqligi.

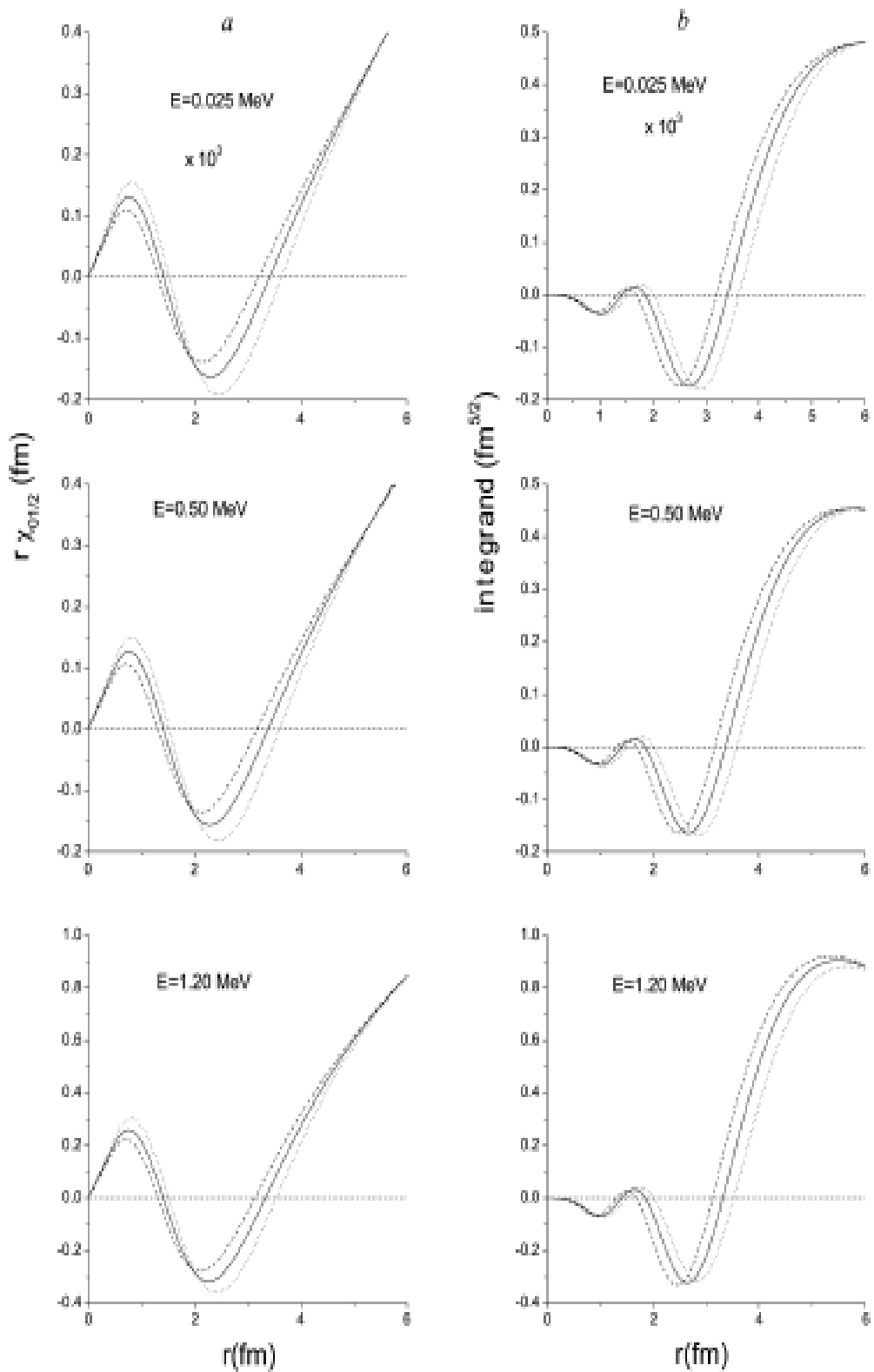
$t + \alpha \rightarrow {}^7\text{Li(g.s.)} + \gamma$														
r_0 (fm)	a (fm)	b (fm $^{-1/2}$)	C_{ta}^2 (fm $^{-1/2}$)			Z_{ta}			$\tilde{S} \times 10^{-1}$ (MeV b)			$R(E, b) \times 10^{-2}$ (MeV b fm)		
1.62	0.63	2.734	12.546	12.447	12.533	1.678	1.665	1.677	0.388	0.230	0.276	0.519	0.351	0.369
1.67	0.67	2.959	12.867	12.819	13.048	1.470	1.464	1.490	0.443	0.298	0.311	0.506	0.341	0.355
1.8	0.70	3.219	13.171	13.153	13.479	1.271	1.269	1.301	0.512	0.344	0.356	0.494	0.332	0.344
1.94	0.73	3.501	13.501	13.518	13.977	1.102	1.103	1.140	0.591	0.396	0.406	0.482	0.323	0.331
1.98	0.77	3.764	13.858	13.931	14.661	0.978	0.983	1.035	0.665	0.444	0.447	0.470	0.313	0.316
$E(\text{MeV}) \rightarrow$			0.055	0.506	1.189	0.055	0.506	1.189	0.055	0.506	1.189	0.055	0.506	1.189

$t + \alpha \rightarrow {}^7\text{Li}(0.478 \text{ MeV}) + \gamma$														
r_0 (fm)	a (fm)	b (fm $^{-1/2}$)	C_{ta}^{*2} (fm $^{-1/2}$)			Z_{ta}^*			$\tilde{S} \times 10^{-1}$ (MeV b)			$R(E, b) \times 10^{-2}$ (MeV b fm)		
1.62	0.63	2.313	8.658	8.625	9.046	1.618	1.612	1.691	0.178	0.121	0.131	0.321	0.219	0.237
1.67	0.67	2.495	8.829	8.833	9.364	1.418	1.419	1.504	0.196	0.133	0.143	0.315	0.214	0.229
1.8	0.70	2.701	8.990	9.018	9.625	1.232	1.236	1.319	0.226	0.153	0.163	0.309	0.210	0.223
1.94	0.73	2.924	9.161	9.216	9.926	1.072	1.078	1.161	0.259	0.175	0.185	0.303	0.205	0.216
1.98	0.77	3.133	9.342	9.438	10.34	0.952	0.962	1.054	0.292	0.197	0.204	0.298	0.200	0.208
$E(\text{MeV}) \rightarrow$			0.055	0.506	1.189	0.055	0.506	1.189	0.055	0.506	1.189	0.055	0.506	1.189

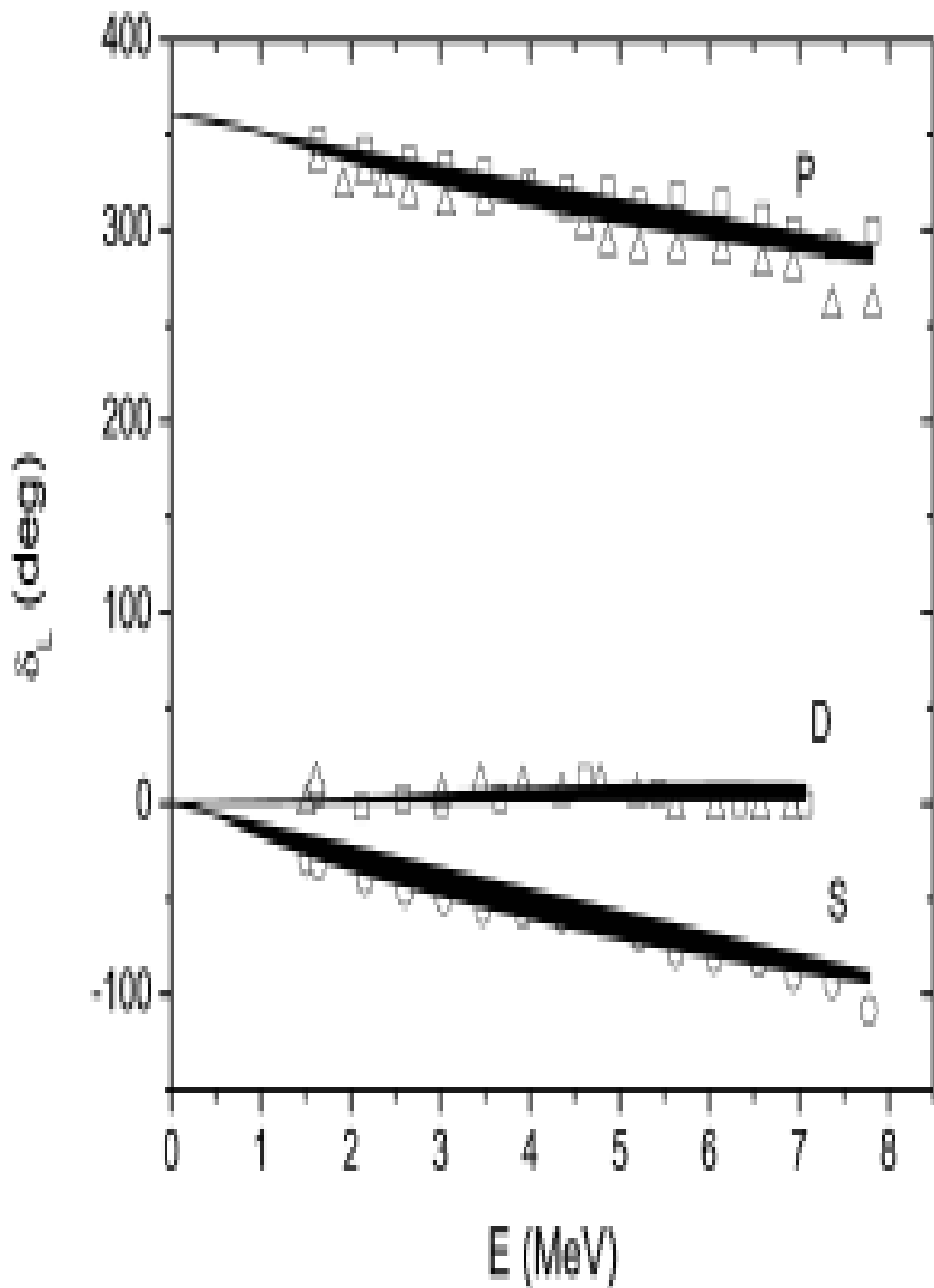
4-jadval. $\tilde{S}(E)$ bir zarrali astrofizik S faktori, $R(E, b)$ funksiya, C_{ta} va C_{ta}^* asimptotik normirovka koeffisientlari va Z_{ta} va Z_{ta}^* spektraskopik faktorlarning bir zarrali asimptotik normirovka koeffitsiyentiga bog'liqligi.



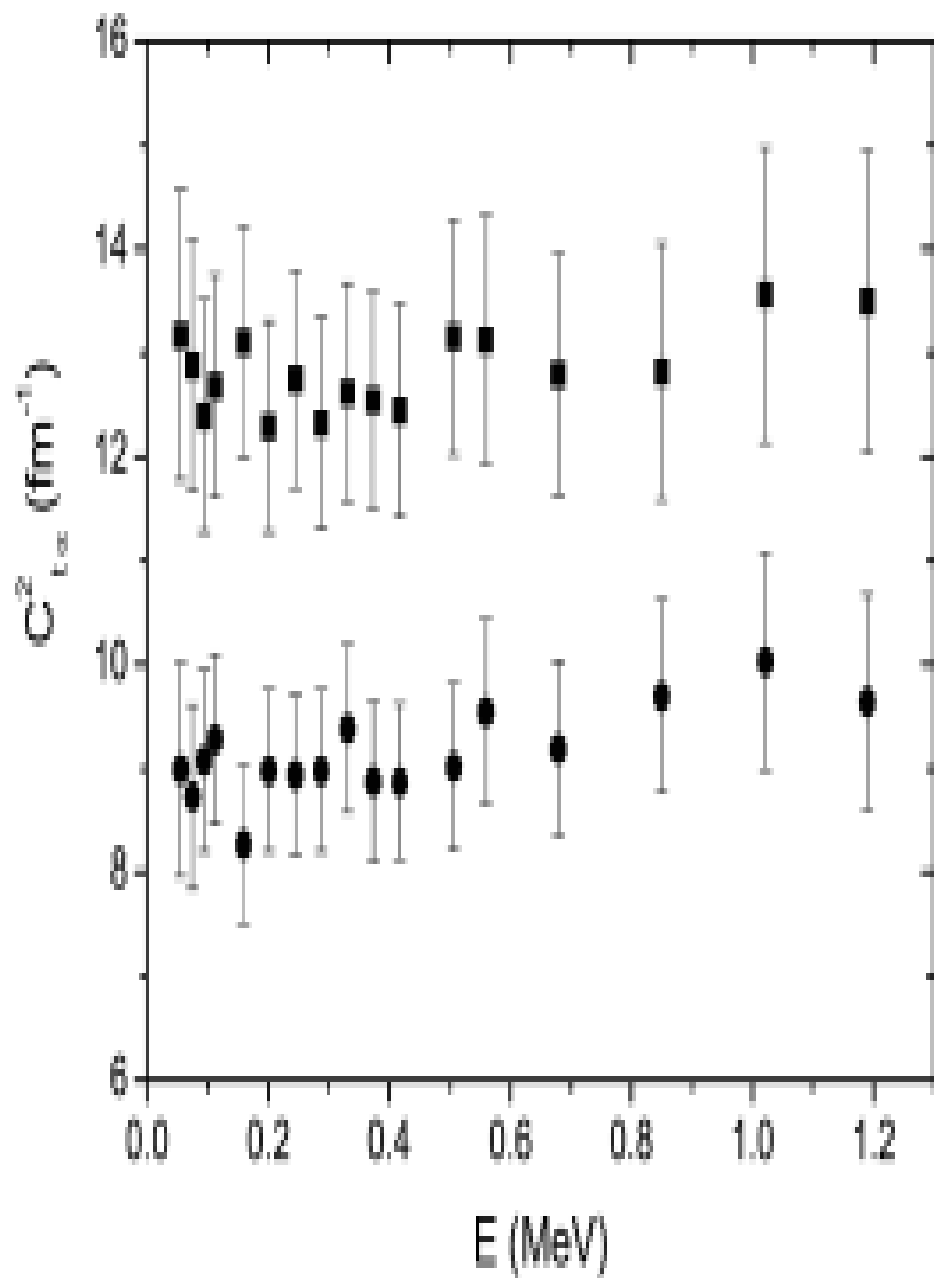
12-rasm. $(\alpha + t)$ kanalda ${}^7\text{Li}$ asosiy xolati uchun xar xil (r_0, a) juftliklarda Vuds-Saxon potensialida xisoblangan $r\varphi_{l_B j_B}(r)$, ($l_B = 1, j_B = 3/2$) bog'langan holat radial to'lqin funksiyasi.(1.62 fm va 0.63 fm) shtrix chiziq, (1.80 fm va 0.70 fm) punktir chiziq va (1.98 fm va 0.77 fm) shtrix-punktir chiziq.Uzluksiz chiziq $r_0 = 1.80 \text{ fm}$ va $a = 0.70 \text{ fm}$ standart qiyatlarda xisoblangan Uittiker funksiyasi.



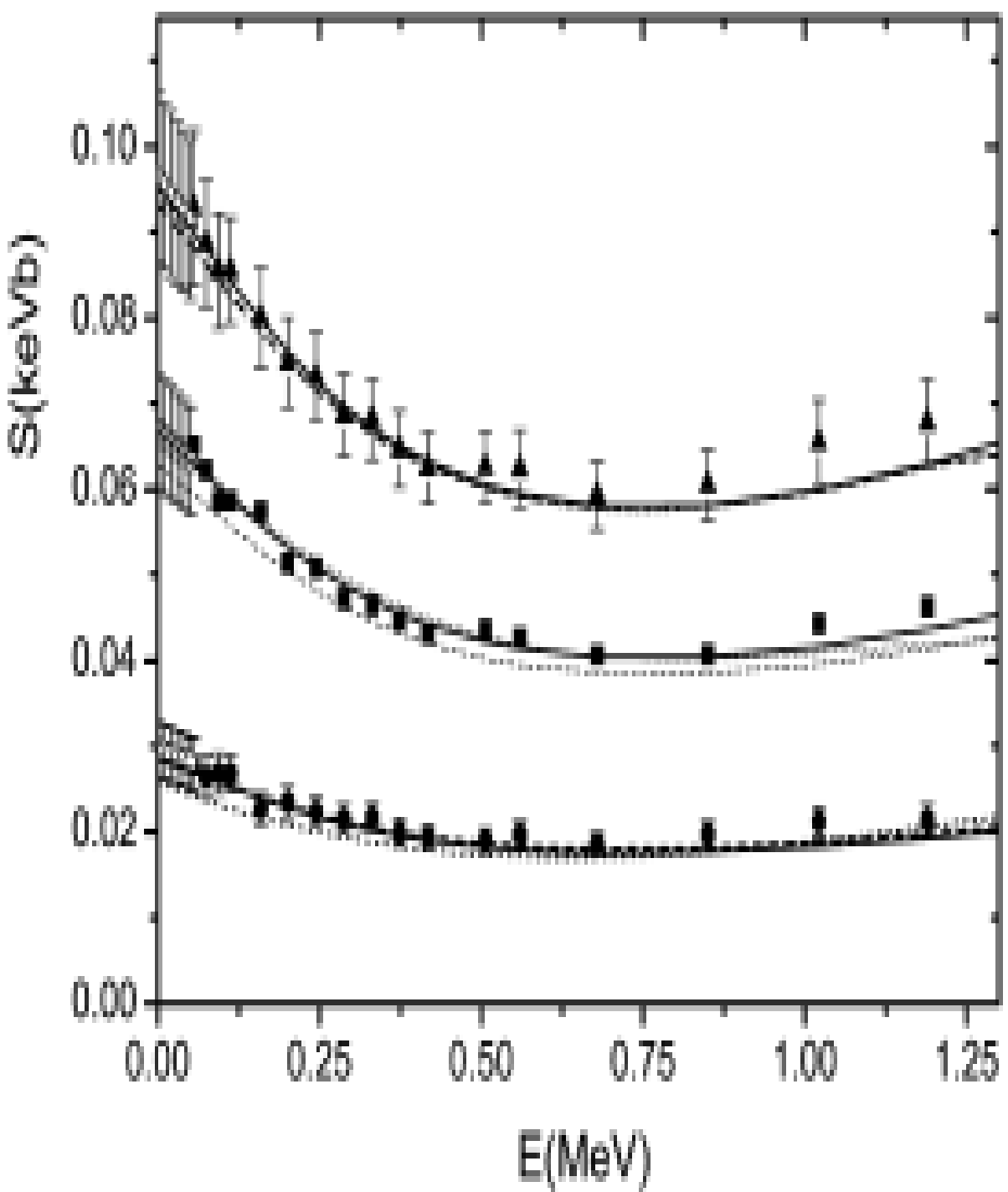
13-rasm. $t + \alpha \rightarrow {}^7Li + \gamma$ (0 MeV) reaksiya uchun $E=0.055$ MeV, $E=0.560$ MeV va $E=1.200$ MeV energiyalarda xar xil (r_0, a) juftliklarda (a) s-to'lqin uchun αt – sochilish radial to'lqin funsiyasi va (b) radial integral osti funksiyasi. (1.62 fm va 0.63 fm) shtrix chiziq, (1.80 fm va 0.70 fm) punktir chiziq va (1.98 fm va 0.77 fm) shtrix-punktir chiziq.



14-rasm. $t\alpha$ – elastik sochilish faza siljishining xar xil parsial to'lqinlar uchun energiyaga bog'liqligi. Qora polasa bizning xisoblash natijalari. O'zgarmas energiya uchun polasaning kengligi Woods-Saxon potensialining R va a parametrlarini ($r_0 = 1.62$ dan 1.98 fm gacha $a = 0.63$ dan 0.77 fm gacha) variatsiyaga mos keladi.



15-rasm. ${}^7\text{Li} \rightarrow t + \alpha$ virtual bo'linishning xamma eksperimental E_i energiyalarda asosiy va uyg'ongan xolatlari uchun asimptotik normirovka koeffitsiyentining qiymatlari. Kvadrat nuqtalar asosiy xolatning va aylana nuqtalar uyg'ongan xolatning ishda keltirilgan eksperimental astrofizik S-faktorni analiz qilish orqali olingan bizning natijalar.



16-rasm. $t + \alpha \rightarrow {}^7Li + \gamma$ (a.x.) (kvadrat niqtalar) , $t + \alpha \rightarrow {}^7Li + \gamma$ (0.458 MeV) (doira nuqtalar) va $t + \alpha \rightarrow {}^7Li + \gamma$ (a.x.+0.458 MeV) (uchburchak nuqtalar) reaksiyalar uchun astrofizik S faktori.Uzluksiz chiziq $r_0 = 1.80 fm$ va $a = 0.70 fm$ standart iqymatlarda xisoblangan bizning natijalar.

HULOSA

Bu bitiruv malakaviy ishda modifikatsiya qilingan ikki jismli potensial metod yordamida to'qnashuvchi zarralarning juda kichik energiyalarida $t(\alpha, \gamma)^7Li$ (0 MeV) va $t(\alpha, \gamma)^7Li$ (0.458 MeV) tog'ri radiatsion qamrab olish yadro-astrofizik reaksiyasining eksperimental astrofizik S-faktori taxlil qilindi. Taxlil natijasiga ko'ra Energianing qaralayotgan soxasida bu reaksiyalar xaqiqiy periferiyali reaksiya ekanligi aniqlandi. Bu reaksiyalarning eksperimental astrofizik S-faktorlari asimptotik normirovka koeffitsiyenti (yadro cho'qqisi konstantasi) ning qiymati haqidagi mustaqil iformatsiya manbai ekanligi ko'rsatildi. 7Li (asosiy) $\rightarrow \alpha + t$ va 7Li (0.458 MeV) $\rightarrow \alpha + t$ va $^7Li \rightarrow t + \alpha$ virtual bo'linish uchun eksperimental astrofizik S-faktordan topilgan asimptotik normirovka koeffitsiyenti $t(\alpha, \gamma)^7Li$ (0 MeV) va $t(\alpha, \gamma)^7Li$ (0.458 MeV) reaksiya differensial ko'ndalang kesimidan modifikatyilangan buzilgan to'lqin born yaqinlashish metodi orqali topilgan asimptotik normirovka koeffitsiyentining aiqligini baxolash imkoniyatini borligi ko'rsarildi.

Olingan asimptotik normirovka koeffitsiyentidan eksperiment qilish mumkin bo'lмаган energiya soxasida ($E=0$) qaralayotgan reaksiyalar uchun astrofizik S-faktorni ekstrapolyatsiya qilish uchun foydalanildi.

Foydalanilgan adabiyotlar ro'yxati.

1. SH.M. Mirziyoev "Erkin va farovon, demokratik O'zbekiston davlatini birgalikda barpo etamiz" Toshkent-«O'zbekiston» - 2016. 56 bet
2. SH.M. Mirziyoev. "Tanqidiy tahlil, qat'iy tartib - intizom va shaxsiy javobgarlik har bir rahbar faoliyatining kundalik qoidasi bo'lish kerak". Toshkent: "O'zbekiston", 2017. - 104 b.
3. SH.M. Mirziyoev "Buyuk kelajagimizni mard va oljanob xalqimiz bilan birga quramiz" Toshkent-«O'zbekiston» - 2017. 488 bet.
4. SH.M. Mirziyoev "Qonun ustuvorligi va inson manfaatlarini ta'minlash-yurt taraqqiyoti va xalq farovonligining garovi" Toshkent-«O'zbekiston» - 2017
5. Blokhintsev, L.D.;Borbely, I.;Dolinskii, E.I. *Fiz.Elem.Chastits At. Yadra* 1977, vol. 8, 1189– 1244; *Sov.J.Part.Nucl.* 1977, vol. 8, 485–511.
6. Timofeyuk, N. K. *Nucl.Phys.* 1998, vol. A632, 19–38.
7. Kharbash, A.;Descouvemont, P. *Phys.Rev.* 1998, vol. C58, 1066–1072.
8. Descouvemont, P. *Phys.Rev.* 2004, vol. C70, 065802(1–10).
9. Blokhintsev, L. D.;Yarmukhamedov, R.;Artemov, S. V. et al. *Uzb.Phys.J.* 2010, vol. 12, No.4–6, 217–232.
10. Gulamov, I. R.;Mukhamedzhanov, A. M.;Nie, G. K. *Yad. Fiz.* 1995, vol. 58, 1789–1795.
11. Artemov, S.V.;Gulamov, I. R.;Zaparov, E. A. et.al. *Yad. Fiz.* 1996, vol. 59, 454–464; *Phys. Atom. Nucl.* 1996, vol. 59, 428–438.
12. Mukhamedzhanov, A.M.;Clark, H.L.;Gagliardi, C. C. et al. *Phys. Rev.* 1997, vol. C56, 1302-1312.
13. R. M. DeVries, *Phys. Rev. C* **8**, 951 (1973).
14. L. D. Blokhintsev, I. Borbely, and E. I. Dolinskii, *Fiz. Elem.Chastits At. Yadra* **8**, 1189 (1977) [*Sov. J. Part. Nuclei* **8**, 485 (1977)].
15. Igamov, S.B.;Yarmukhamedov, R. *Nud.Phys.* 2007, vol. A781, 247-276.
16. Mohr, P.;Abele, H.;Zwiebel, R. et al. *Phys.Rev.* 1993, vol. C48, 1420-1427.

17. Igamov, S.B.;Yarmukhamedov, R. Physics of Atomic Nuclei,2008, Vol.71, No. 10,pp. 1740-1755.

INTERNET MANBALARI

1. www.ziyonet.uz
2. www.kitob.uz
3. www.fizika.ru
4. [www. fizika.narod.ru](http://www.fizika.narod.ru)
5. [www. Guldu.uz](http://www.Guldu.uz)